

НВЧ енергії трисантиметрового діапазону хвиль. При цьому в кілька разів зменшуються перерізні й поздовжні розміри елементів та їх вага.

ЛІТЕРАТУРА

1. Л. А. Вайштейн. Электромагнитные волны. «Советское радио», М., 1957.
2. Ю. В. Егоров. Частично заполненные прямоугольные волноводы. «Советское радио», М., 1967.

ХВИЛЕВОДНО-СМУЖКОВІ ПЕРЕХОДИ

*B. M. Сєдих, M. B. Ляпунов, B. B. Беліков, I. I. Саприкін,
B. B. Покусай*

У даний час виявляється велика увага до смужкових ліній передачі і створення на їх основі різних НВЧ елементів. Але конструктування і дослідження цих елементів ускладнюється відсутністю стандартної вимірювальної апаратури на смужках.

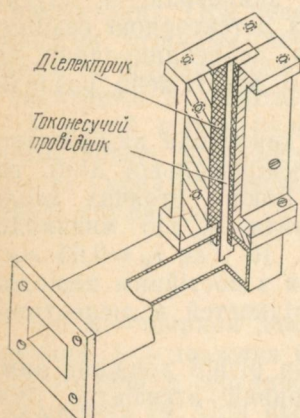


Рис. 1.

У зв'язку з цим виникає необхідність створення переходів від хвилеводів різноманітного перерізу до смужкових ліній передачі, що дозволить використати існуючу хвилеводну техніку.

Безпосередній переход від хвилевода до смужкової лінії має менші габарити й вагу і дешевше коштує, ніж переходи від хвилевода до коаксіальної лінії, а потім від коаксіальної до смужкової лінії.

Існує декілька робіт, в яких описано конструкції переходів від прямокутного хвилевода до несиметричної смужкової лінії [1, 2, 3] і до симетричної смужкової лінії [4, 5].

У даній роботі описується конструкція переходу від прямокутного хвилевода до симетричної екраниованої смужкової лінії.

Математичний розрахунок хвилеводно-смужкового переходу не проводився, бо навіть для найпростіших смужкових ліній він становить значні труднощі.

Конструкція хвилеводно-смужкового переходу показана на рис. 1.

Хвилеводна частина переходу являє собою короткозамкнуту хвилеводну секцію, в широкій стінці якої є прямокутний отвір, через який за допомогою зонду здійснюється зв'язок між хвилеводом і смужковою лінією.

Смужкова частина переходу — це відрізок екраниованої симетричної смужкової лінії з діелектричним заповненням і хви-

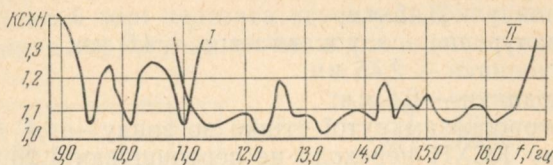


Рис. 2.

льовим опором 50 ом. Як діелектрик використовувався тефлон (фторопласт-4).

Відрізок смужкової лінії прикріплюється до хвилеводної частини переходу за допомогою фланця так, що поздовжні осі смужкової лінії і хвилевода взаємно перпендикулярні.

Центральний провідник смужкової лінії входить через отвір у широкій стінці хвилевода на деяку глибину в хвилеводну частину переходу і є елементом зв'язку між хвилеводом і смужковою лінією.

При дослідженні хвилеводно-смужкового переходу смужкова частина навантажувалася на коаксіальне погоджене навантаження з власним КСХН не гірше, ніж 1,07 в робочому діапазоні частот. У зв'язку з цим використовувався розроблений раніше коаксіально-смужковий перехід, КСХН якого в смузі пропускання хвилевода не перевищував 1,10.

Було проведено дослідження частотної залежності КСХН переходу від форми і положення отвору зв'язку, глибини занурення зонду в хвилевод, положення короткозамкнутої стінки відносно осі зонду та від його форми для переходів від хвилеводів з поперечним перерізом 23×10 і 17×8 мм на симетричні смужкові лінії з поперечним перерізом 23×4 і 17×4 мм відповідно.

Найменший КСХН переходу на хвилеводі з поперечним перерізом 23×10 мм одержаний при таких основних розмірах:

отвір у широкій стінці хвилевода — 5×4 мм;
ширина центрального провідника смужкової лінії (зонду) — 3,45 мм;

глибина занурення зонду в хвилевод — 6,0 мм;

ширина сходинки — 2,55 мм;

висота сходинки — 1,45 мм;

відстань короткозамкнутої стінки до зонду — 5,3 мм.

При цьому КСХН переходу не перевищував 1,25 в 20%-ній смузі частот ($9,25 \div 11,25$ Гц).

Графік частотної залежності КСХН переходу зображеній на рис. 2 (1).

Для переходу на хвилеводі перерізом 17×8 мм краща частотна залежність КСХН одержана при таких розмірах:

отвір у широкій стінці хвилевода — 5×4 мм;

ширина зонду — 3,45 мм;

глибина занурення зонду в хвилевод — 4,9 мм;

ширина сходинки — 2,45 мм;

висота сходинки — 0,6 мм;

відстань короткозамкнутої стінки зо зонду — 4,4 мм.

При цьому КСХН переходу не перевищував 1,20 в 41%-ній смузі частот ($10,9 \div 16,6$ Гц).

Графік частотної залежності КСХН переходу на хвилеводі перерізом 17×8 мм показаний на рис. 2 (2).

Порівнюючи оптимальні дані для обох переходів, можна встановити, що глибина занурення зонду в хвилевод становить приблизно 0,6 висоти хвилевода, а відстань короткозамкнутої стінки до зонду — приблизно 0,54 висоти хвилевода.

Одержані результати дозволяють виготовляти переходи на хвилеводах іншого перерізу без особливих труднощів.

ЛІТЕРАТУРА

1. C. Bowness. Strip transmission lines, Electron. Engng., 1956, 28, № 2, p. 335.
2. Shah and Onnig. Miniature stripline to wave-guide slot adapter-colinear, IRE Trans. Microwave Theory and Techn., 1962, 10, № 2.
3. Дж. Дьюкс. Печатные схемы. Изд-во иностр. лит-ры, М., 1963.
4. R. H. Knerr. A new type of waveguide-to-stripline transition, IEEE Trans. Microwave Theory and Techn., 1968, 88, № 3, p. 192.
5. В. М. Седых, И. И. Сапрыкин, Д. С. Денисов, В. В. Покусай. Волноводно-полосковый переход. «Тезисы докладов юбилейной научно-технической конференции». Изд-во ХГУ, Харьков, 1970.

ЕКСПЕРИМЕНТАЛЬНЕ ДОСЛІДЖЕННЯ НВЧ-ФІЛЬТРІВ З ЕЛЕКТРИЧНОЮ ПЕРЕСТРОЙКОЮ НА ПЕРІОДИЧНІЙ ФЕРИТОВІЙ СТРУКТУРІ

M. I. П'ятак, B. O. Коробкін

Останнім часом періодичні магнітодіелектричні структури, властивості розповсюдження електромагнітних хвиль в яких, особливо в довгохвильовому наближенні, вивчені досконало [1–3], знаходять застосування при побудові некерованих [4, 5] і керованих [6, 7] зовнішнім магнітним полем НВЧ-фільтрів.

Оскільки перестройка фільтрів на періодичних феритових структурах здійснюється за рахунок зміни ефективної електричної довжини феритових елементів [6], це потребує незначного за величиною зовнішнього магнітного поля (сотні ерстед) на відміну від ферорезонансних фільтрів на феритових монокристалах (тисячі ерстед), які до того ж стійко працюють тільки при малих потужностях електромагнітного поля.

У найбільшій мірі перевага керованих фільтрів на періодичних феритових структурах виявиться в короткохвильовій частині

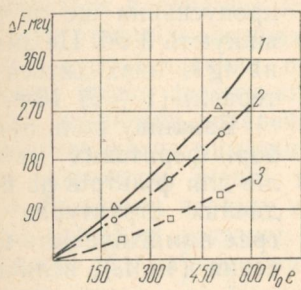


Рис. 1.

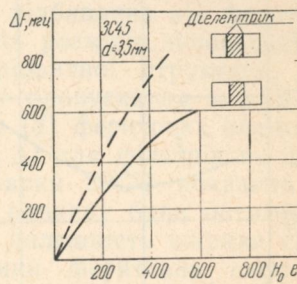


Рис. 2.

ні НВЧ-діапазону, де використання інших типів керованих фільтрів пов'язано із значними ускладненнями. У зв'язку з цим метою даної роботи було експериментальне дослідження деяких характеристик керованих фільтрів на періодичній феритовій структурі, виконаних на відрізку прямокутного хвилевода перерізом 23×10 мм з симетрично розташованою відносно середини широких стінок періодичною феритовою структурою. Магнітне поле направлено нормально до широких стінок хвилевода. Періодична структура складається з феритових елементів, виконаних у вигляді паралелепіпедів, розташованих на однакових відстанях одна від одного. Кількість елементів структури визначається необхідним рівнем затухання в смугах непрозорості і потрібною величиною крутизни фронту частотної характеристики.

Параметри фільтрів, зокрема, центральна частота f^u , ширина смуг і втрати енергії в них, крутизна перестройки по магнітному полю можуть змінюватися в широких межах відповідними змінами розмірів феритових елементів (довжини й товщини), відстані між ними та параметрів феритових матеріалів (ϵ , μ , $\operatorname{tg} \delta_\epsilon$, $4\pi M_0$). Проте, слід відзначити, що зміна розміру пустої частини значно менше впливає на характеристики фільтра, ніж відповідна зміна в розмірах феритових елементів. Так, зменшення (збільшення) довжини феритових елементів (40СЧ2) на 1 мм (товщина елементів 5 мм) викликає відхилення цент-

ральної частоти смуги прозорості на 420 МГц , тоді як на кожний 1 мм пустої частини це відхилення становить 40 МГц . Ці дані дають змогу якісно оцінити точність виготовлення і установок феритових елементів, щоб запобігти розширенню смуги пропускання і зменшенню величини крутизни скатів.

Численні експериментальні дані по вивченю керованих фільтрів, побудованих на основі феритових елементів з різними параметрами ($\operatorname{tg} \delta_e$, $4\pi M_0$), дозволяють назвати максимальну

величину $\operatorname{tg} \delta_e$, при якій втрати енергії в смугах пропускання ще не перевищують 3 дБ . Це значення $\operatorname{tg} \delta_e$ знаходиться в інтервалі $(1 \div 5) \cdot 10^{-3}$.

Важливу роль при виборі феритових матеріалів для фільтрів на періодичних структурах відіграє намагніченість насищення ($4\pi M_0$), величина якої при даних розмірах феритових елементів визначається крутизна перестройки фільтра по магнітному полю. Залежність перестройки центральної частоти смуг пропускання ($\Delta f \text{ МГц}$) від величини зовнішнього магнітного поля ($H_0 e$), прикладеного нормально до широких стінок хвилевода, була знята для трьох марок фериту (ЗСЧ5, ЗСЧ15,

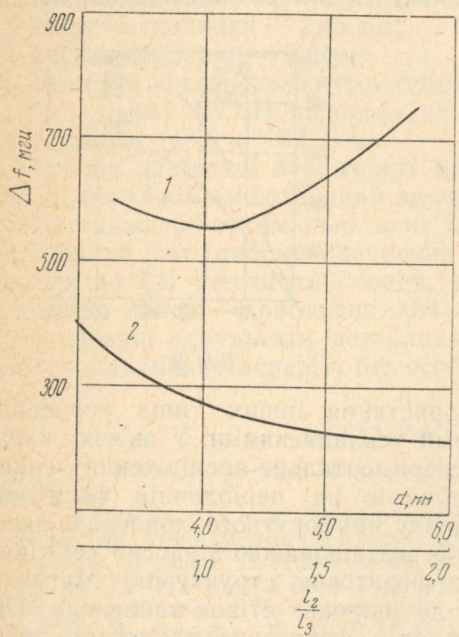


Рис. 3.

80СЧ) з різним значенням намагніченості насищення. Параметри періодичної структури в кожному з трьох випадків були оптимізовані за мінімальною шириною і втратами енергії в смугах пропускання. Як виходить з рис. 1 (крива 1 $4\pi M_0 = 2530 \text{ Гс}$, крива 2 — 2040 Гс , крива 3 — 310 Гс), ефективність перестройки $\left(\frac{\Delta f \text{ МГц}}{\Delta H e}\right)$ фільтра на феритових елементах з намагніченістю 2540 Гс більш як удвічі перевищує аналогічну величину для елементів з намагніченістю 310 Гс . Оскільки ефективність перестройки фільтра в значній мірі визначає габарити і вагу магнітної системи, була досліджена можливість збільшення її величини за допомогою діелектричних включень, що розташувалися на бокових

поверхнях феритових елементів. Наприклад, для елементів (марка ЗСЧ5) з розмірами: товщина $d=4,85$ мм, довжина 9,8 мм і діелектричних пластин ($\epsilon=8$) товщиною 1 мм, розміщених по обидві сторони феритових елементів, одержано різке зростання ефективності перестройки, що видно з рис. 2. На рис. 2. зображене залежність відносної центральної частоти ($\Delta F = f_{H=0}^u - f_{H=h_0}^u$) смуг прозорості від величини магнітного поля для фільтра на ферито-діелектричній (пунктирна крива) і феритовій (суцільна крива) структурах.

Ширина смуг пропускання (Δf), як відомо [4, 7], цілком визначається величиною коефіцієнта відбивання від феритових елементів і співвідношенням поздовжніх розмірів заповненої феритом і пустої частини періоду періодичної структури. Для вибраної марки фериту ширину смуг пропускання можна змінювати, змінюючи поперечний розмір (d) феритових елементів. Експериментально виміряні значення Δf для фільтрів на феритових елементах різної товщини марки 80СЧ показано на рис. 3. Величину періоду в кожному випадку було оптимізовано. На цьому ж рисунку приведено залежність ширини смуги прозорості від співвідношення довжини феритових елементів (l_1) і довжини пустої частини періоду (l_2). Як видно, при $\frac{l_1}{l_2} = 1,05$ ширина смуги мінімальна, що відповідає випадку, коли електрична довжина пустої і заповненої феритом частини хвилевода кратна непарному числу чвертей довжин хвиль у хвилеводі [4].

ВИСНОВКИ

У результаті проведеної експериментальної роботи по вивченю фільтрів на періодичних феритових структурах, однією з найважливіших ознак яких є невеликі (<1000 е) значення керуючого поля, можна стверджувати, що при втратах енергії в смугах пропускання 1—2 дБ їх ширина може змінюватися від декількох сотень Mes до однієї-двох за допомогою відповідного вибору товщини елементів і співвідношення поздовжніх розмірів фериту і пустої частини.

Слід зауважити, що наведені в даній роботі характеристики фільтрів на періодичних феритових структурах далеко не кращі для даного класу фільтрів. Застосування феритових матеріалів з поліпшеними властивостями і оптимізація деяких параметрів періодичної структури дозволить попліщити характеристики таких фільтрів. Завдяки відзначеним вище перевагам фільтр може знайти широке використання в техніці НВЧ, особливо в міліметровій частині діапазону.

ЛІТЕРАТУРА

1. М. А. Хижняк. «Радиотехника и электроника», 1960, т. 5, № 3.
2. М. А. Хижняк. «Ученые записки ХГУ», 1957, 2, 5.
3. С. М. Рытов. ЖЭТФ, 1955, 11, 605.
4. Янг, Кристалл. «Зарубежная радиоэлектроника», 1966, № 12.

5. Faub, Cohen «Proc IEEE», 1966, vol. 54, № 4.
 6. В. О. Коробкін, М. І. П'ятак. Авт. свід. № 310602.
 7. В. О. Коробкін, М. І. П'ятак. «Труды конференции по электронной технике», Харків, 1970, вип. 1.

КІНЕТИЧНА ТЕОРІЯ ДЕТЕКТОРНИХ ХАРАКТЕРИСТИК

K. I. Кононенко, B. O. Погребняк

У роботі розглядається задача про детектування НВЧ випромінювання при індикації по розрядному і зондовому струму. Визначається залежність струму від амплітуди і частоти електромагнітної хвилі, а також від ступеня іонізації газорозрядної плазми. Ступінь іонізації, як буде показано нижче, суттєво впливає на знак детекторного струму. Дослідження проводиться за методом кінетичного рівняння Больцмана [1]:

$$\begin{aligned} \Phi(\varepsilon, r, t) &= f(\varepsilon, r, t) + \vec{\chi}(\varepsilon, r, t) \frac{\vec{p}}{p}, \\ \frac{\partial f}{\partial t} + \frac{e}{3} \frac{1}{n(\varepsilon)} \frac{\partial}{\partial \varepsilon} \{n(\varepsilon) \vec{\chi} \cdot \vec{E}\} &= \frac{1}{n(\varepsilon)} \frac{\partial}{\partial \varepsilon} \left\{ n(\varepsilon) \tilde{\nu}(\varepsilon) \varepsilon T \left[\frac{f}{T} + \frac{df}{d\varepsilon} \right] \right\}, \quad (1) \\ \frac{\partial \vec{\chi}}{\partial t} + \nu(\varepsilon) \vec{\chi} &= - \frac{ep}{m} \vec{E} \frac{\partial f}{\partial \varepsilon}, \end{aligned}$$

де f і $\vec{\chi}$ — симетрична і антисиметрична частини функції розподілу електронів $\Phi(\varepsilon, r, t)$; $n(\varepsilon) = 4 \sqrt{2\pi} m^{\frac{3}{2}} \varepsilon^{\frac{1}{2}}$; $\nu(\varepsilon) = \nu_0 (\varepsilon/T)^{-q}$ і $\tilde{\nu}(\varepsilon) = \tilde{\nu}_0 (\varepsilon/T)^{r-1}$ — частоти зіткнення з втратою імпульсу і енергії відповідно. Останні позначення стандартні. До рівняння (1) слід ще додати рівняння Максвелла:

$$\frac{d^2 E}{dz^2} + \frac{\omega^2}{c^2} \varepsilon (|E|) \cdot E = 0. \quad (2)$$

Детекторний струм визначається формулою

$$\vec{j} = \vec{J}_0 - \vec{J}_1, \quad (3)$$

де \vec{J}_0 — розрядний струм при $E=0$; E — амплітуда НВЧ випромінювання; \vec{J}_1 — розрядний струм при наявності змінного поля

$$\vec{J}_{0,1} = \frac{8\pi me}{3} \int \vec{\chi}(\varepsilon) \varepsilon d\varepsilon. \quad (4)$$

Система рівнянь (1) — (4) вирішується за методом ефективної температури [2]. Для нормального скін-ефекту внаслідок розв'язання одержуємо такий результат:

1. Слабке розігрівання змінним полем, $|E|^2 \ll |E_0|^2$, де E_0 — напруга, що утворюється різницею потенціалів на електродах лампи:

$$\vec{\Delta j} = \frac{2^{1+q} \Gamma \left(\frac{5}{2} - q \right) (1 + 2q) \omega_0^2 \sigma_1 |E|^2}{3\pi^{\frac{3}{2}} (r - q) N_0 T \tilde{\nu}_0^2 v_0^2 r^{-q}} \vec{E}_0 \quad (5)$$

при $\omega > v$ і

$$\vec{\Delta j} = \frac{\Gamma \left(\frac{5}{2} + q \right) \omega_0^2 \sigma_0 |E|^2}{3\pi^{\frac{3}{2}} (r - q) N_0 \tilde{T} \tilde{\nu}_0^2 v_0^2 v^{r-q}} \vec{E}_0 \quad (6)$$

при $\omega < v$.

2. Сильне розігрівання, тобто $|E|^2 \gg |E_0|^2$:

$$\vec{\Delta j} = \sigma_1 \left[1 + \frac{2^{1+2q} (r + q)}{(2q + 1) \xi_0 L} \ln \left(1 - \frac{(2q + 1) \xi_0 L}{2q(r + q) v_0^{2q+1}} \right) \right] \vec{E}_0 \quad (7)$$

при $\omega < v$ і

$$\vec{\Delta j} = \sigma_0 \left\{ 1 + \frac{2^{1+2q} (r + q)}{(1 - 2q) \xi_0 L v_0^{2q}} \left[\left(1 - \frac{(1 - 2q) \xi_0 L}{2^q (r + q) v_0^{2q+1}} \right)^{\frac{1}{2q-1}} - 1 \right] \right\} \vec{E}_0 \quad (8)$$

при $\omega > v$.

У формулах (5) — (8) σ_0 та σ_1 — провідність у лінійній теорії для $\omega < v$ і $\omega > v$ відповідно; $\xi_0 \sim \frac{1}{L}$ — згасання хвилі в лінійній теорії,

$$v_0 = \left[\frac{2\Gamma \left(\frac{5}{2} - q \right) \omega_0^2 \nu_0 |E|^2}{3\pi^{\frac{3}{2}} N_0 T \omega^2 \tilde{\nu}_0} \right]^{\frac{1}{r+q}}$$

для формул (5) і (6) і

$$v_0 = \left(\frac{\sigma_0 |E_0|^2}{N_0 T \tilde{\nu}_0} \right)^{\frac{1}{r-q}}$$

для формул (7) і (8).

Як видно з формул (5) — (8), знак детекторного ефекту залежить від величини q : при $q > -\frac{1}{2}$, $\omega > v$ детекторний ефект

додатній, при $q < -\frac{1}{2}$ — від'ємний. В експерименті знак детекторного ефекту змінюється при дії електромагнітного випромінювання на різні ділянки або при зміні умов розряду [3]. Це пов'язане з тим, що внаслідок неоднорідності плазми механізм розсіювання імпульсу на різних ділянках неоднаковий. Наприклад, якщо переважає розсіювання на нейтральних молекулах то $\Delta J > 0$ і $\Delta J < 0$, якщо переважає розсіювання на заряджених частинках, тобто при $v_{ei} \gg v_{em}$. Оцінюючи v_{ei} і v_{em} [4], одержимо, що для виконання умови $v_{ei} \gg v_{em}$ необхідно, щоб $N_e \gg 10^{-3} N_m$ при $T \sim 10^4$ К. При $p = 1$ мм рт. ст. $N = 10^{16}$ см⁻³, том при $N_e \sim 10^{10}$ см⁻³ умова $v_{ei} > v_{em}$ порівняно легко виконується

Розглянемо тепер зондові детекторні характеристики. В експерименті мають місце два різновиди характеристик: з максимумом і без максимума [5]. Ті чи інші характеристики одержуються в залежності від умов розряду. Це явище, як буде показано нижче, істотно залежить від ступеня іонізації або від концентрації електронів. Детекторний зондовий струм визначається формулою [6]

$$\Delta i = k f(eV), \quad (9)$$

де k — постійна; V — потенціал зонду відносно плазми. Розв'язуючи кінетичне рівняння Больцмана в квазіпружному наближенні, одержуємо такий вираз для детекторного струму слабкоіонізованої плазми:

$$\Delta i = i_0 \left[\frac{\theta_0 + \theta_1 + \beta + 2 \frac{eV}{T} - V(\theta_0 + \theta_1 + \beta)^2 - 4\theta_0\beta}{\theta_0 + \theta_1 + \beta + 2 \frac{eV}{T} + V(\theta_0 + \theta_1 + \beta)^2 - 4\theta_0\beta} \right]^{\frac{(\theta_0 + \theta_1)^2 + (\theta_1 - \theta_0)}{2V(\theta_0 + \theta_1 + \beta)^2 - 4\theta_0\beta}} \times \left[\left(\frac{eV}{T} \right)^2 + (\theta_0 + \theta_1 + \beta)^2 \frac{eV}{T} + \theta_0\beta \right]^{\frac{\theta_0 + \theta_1}{2}} e^{-\frac{eV}{T}},$$

$$\text{де } \theta_0 = \frac{2e^2 |E_0|^2}{3m T v_0 \gamma_0}; \quad \theta_1 = \frac{4e^2 |E_1|^2}{3m T v_0 \gamma_0}; \quad \beta = \frac{\omega^2}{v^2},$$

E_0 — напруженість електричного поля, що утворюється різницею потенціалів на електродах лампи; E — амплітуда зовнішнього електромагнітного випромінювання, що взаємодіє з плазмою.

Легко переконатися в тому, що формула (9) в граничних випадках зводиться до виразів детекторного струму, які визначаються функціями розподілу Максвелла, Давидова і Маргенау.

Якщо ступінь іонізації настільки великий, що виконується умова $v_{ee} \gg v$, де v_{ee} — частота міжелектронних зіткнень; v —

частота зіткнень електронів з втратою енергії, то детекторна характеристика буде максвелівською:

$$\Delta i = i_0 e^{-\frac{eV}{\theta}}, \quad (10)$$

де θ — ефективна температура, що знаходиться з рівняння перенесення енергії та імпульсу:

$$\theta = \theta_0 \left[1 + \frac{2}{3} \frac{\Gamma\left(\frac{5}{2} - q\right)}{\pi^{3/2}(r-q)N_0 T} \frac{\omega_0^2 v_0 |E|^2}{\omega^2 v^{r-q-1}} \right], \quad (11)$$

де

$$v_0 = \frac{\theta_0}{T}; \quad \theta_0 = T \left[\frac{2}{3} \frac{\Gamma\left(\frac{5}{2} + q\right)}{\pi^{3/2} v_0 N_0 T} \frac{\omega_0^2 |E|^2}{\omega^2 v^{r-q-1}} \right]^{\frac{1}{r-q}}. \quad (12)$$

Числа r і q характеризують механізм розсіювання енергії імпульсу електрона. При одержанні формули (12) вважається, що нагрівання плазми полем хвилі набагато менше, ніж постійним полем.

Перейдемо до розгляду детекторних характеристик, що мають максимум. Легко бачити з кінетичного рівняння Больцмана, що в квазіпружному наближенні детекторні характеристики максимуму не мають. Для більш точного аналізу треба враховувати непружні зіткнення. В цьому разі, система рівнянь (1) зміниться, бо в правій частині з'являться нові члени, що враховують непружні зіткнення [7]. Тоді рівняння, що визначає значення енергії, при якому детекторна характеристика має максимум, можна записати у вигляді

$$\int_0^\infty [S(\varepsilon) - F(\varepsilon)] f n(\varepsilon) d\varepsilon + n(\varepsilon) \tilde{v}(\varepsilon) \tilde{f} = 0,$$

де S — описує утворення повільних електронів; F — зникнення швидких електронів. Беручи S і F у явному вигляді [7] і проводячи дослідження цього рівняння, можна довести, що ε_{max} лежить в області малих значень енергії (тобто малих значень потенціалу зонду).

Зауважимо, що при виконанні умови $v_{ee} \gg v$ зондова детекторна характеристика стає максвелівською, тоді максимум відсутній. З другого боку, при виконанні цієї умови зіткнення електронів з іонами починають перебільшувати їх зіткнення з молекулами. Це випливає з умови квазістационарності. Як було доведено в роботі [8], при виконанні умови $v_{ei} > v_{em}$ детекторна характеристика по розрядному струму змінює знак на

протилежний. Таким чином, появля максимуму на зондовій детекторній характеристиці пов'язана зі зміною знака детекторної характеристики по розрядному струму. Наведемо оцінки для концентрації електронів, при яких виконується умова $v_{ee} \gg v$.

Скористаємося для цього формулами $\tilde{v}(e) = 80 \pi a^2 \sqrt{T} \cdot N_m$ та $v_{ee} = \sqrt{2\pi e^4 N/m^{1/2} T^{3/2} v^{3/2}} [9]$. При $p=1 \text{ mm rt. st.}$ зазначена умова починає здійснюватися при концентрації $N \sim 10^{10} \text{ см}^{-3}$.

ЛІТЕРАТУРА

1. В. Л. Гinzбург, А. В. Гуревич. УФН, 1960, **70**, 201, 393.
2. Ф. Г. Басс, Ю. Т. Гуревич. ЖЭТФ, 1966, **51**, 536.
3. В. J. Udelson. J. Appl. Phys., 1957, **28**, 3, 380.
4. В. Л. Гинзбург. Распространение электромагнитных волн в плазме. «Наука», М., 1967.
5. К. И. Кононенко, «Уч. зап. ХГУ», 1955, 64, 191.
6. Л. Лёб. Основные процессы электрических разрядов в газах. ГИТТЛ, М.—Л., 1950.
7. И. Шкаровский, Т. Джонстон, М. Бачинский. Кинетика частиц плазмы. Атомиздат, М., 1969.
8. Ю. Л. Зантберг, К. И. Кононенко, В. А. Погребняк. ЖТФ, 1972, **42**, 64.
9. H. Fröhlich, B. V. Raghupare. Proc. Phys. Soc., 1956, **B69**, 21.

ВПЛИВ МАГНІТНОГО ПОЛЯ НА ПОСТИЙНУ СКЛАДОВУ СТРУМУ ВЧ-РОЗРЯДУ

B. M. Костін, I. A. Вязьмітинов

Дослідженю постійної складової струму I_{\perp} ВЧ-розряду присвячена значна кількість робіт радянських і зарубіжних авторів (див., наприклад, [1—3]). Але вивчення впливу магнітного поля на струм I_{\perp} досі не було проведено ні експериментаально, ні теоретично.

У даній роботі наведено деякі результати експериментальних досліджень впливу магнітного поля ($B \sim 0 \div 750 \text{ Gc}$) на струм I_{\perp} , що виникає у ВЧ-розряді ($v=32 \text{ мгц}$) в розрідженному аргоні між коаксіальними циліндрами. Зовнішній циліндр — мідний ($R=11 \text{ мм}$, $l=120 \text{ мм}$), внутрішній — вольфрамовий дріт ($r_0=0,05 \text{ мм}$). Аксіальне однорідне поле B утворювалося за допомогою соленоїду, вздовж осі якого була розташована розрядна трубка. Застосовувана електровимірювальна схема описана раніше [4].

На рис. 1 показано залежності струму I_{\perp} від напруженості магнітного поля B для різних тисків аргону та напруг горіння U_{\perp} розряду. Криві 1, 2 і 3 одержані при $p=3 \text{ tor}$, $U_{\perp}=190 \text{ v}$,

$p=7 \text{ tor}$, $U_{\perp}=210 \text{ v}$ і $p=18 \text{ tor}$, $U_{\perp}=220 \text{ v}$ відповідно. З рис. 1 видно, що взагалі збільшення B приводить до зменшення I_{\perp} . При певних умовах I_{\perp} стає від'ємним, тобто змінює напрям. Зміна знака I_{\perp} раніше спостерігалася нами [4] при відсутності магнітного поля з підвищением тиску або збільшенням напруженості електричного поля високої частоти. У даних експериментах, як і раніше, при зміні знака I_{\perp} спостерігається пробій проміжку яскравим радіальним каналом. При більш високих тисках газу магнітне поле менше впливає на I_{\perp} (крива 3).

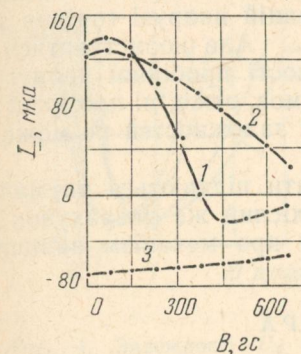


Рис. 1.

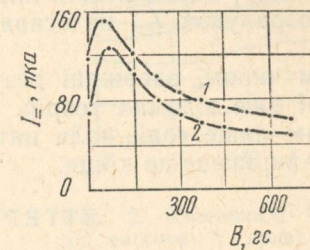


Рис. 2.

На рис. 2 показано залежності I_{\perp} від B при $p=1 \cdot 10^{-1} \text{ tor}$ і $p=8 \cdot 10^{-2} \text{ tor}$ для напруги горіння $U_{\perp}=180 \text{ v}$ (криві 1 і 2 відповідно). Взаємне розташування кривих не заперечує раніше одержаних нами результатів [4], з яких виходить, що при тисках $p \sim 1 \cdot 10^{-2} \div 5 \cdot 10^{-1} \text{ tor}$ в умовах наших експериментів вищим тискам відповідають більші значення I_{\perp} .

Здобуті результати якісно можна пояснити на основі принципу еквівалентного тиску [5] (виходячи з якого, вплив магнітного поля на газовий розряд можна звести до уявного збільшення тиску газу на величину $\Delta p \sim B^2$), користуючись характеристиками ВЧ-пробою. Згідно з цим при тисках, менших оптимального, відповідного мінімуму характеристики, зростання еквівалентного тиску приведе до зменшення напруги горіння або, при фіксованій напрузі горіння, до зростання розрядних струмів, включаючи й I_{\perp} . При тисках, більших оптимального, збільшення магнітного поля виклике зменшення струмів розряду, в тому числі й I_{\perp} .

На основі принципу еквівалентного тиску також можна стверджувати, що при високих тисках газу вплив магнітного поля на I_{\perp} повинен бути меншим, ніж при низьких, бо відносна зміна тиску за рахунок магнітного поля у першому випадку менша, ніж у другому.

Інше можливе пояснення одержаних результатів може та-ж базуватися на використанні залежностей пробійної напру-

ги від напруженості магнітного поля при різних тисках, наведених у [6]. Ці залежності мають чітко виражений мінімум при низьких тисках газу, який поступово вирівнюється при переході до високих тисків.

Не заглиблюючись у деталі механізму розряду, можна вважати, що при магнітних полях, менших оптимального, відповідного мінімуму пробійної напруги, збільшення B при фіксованій напрузі горіння приведе до зростання I_{∞} . При магнітних полях, більших оптимального, і фіксованій напрузі горіння збільшення B приведе до зменшення I_{∞} . Але користуватися цим способом слід обережно, бо залежності пробійної напруги від B в роботі [6] наведені для інших умов, отже, ні про який кількісний розрахунок I_{∞} на основі цих залежностей не може бути мови.

Таким чином, одержані результати піддаються тлумаченню на основі вже відомих теорій. Кількісний же розрахунок буде можливим лише тоді, коли питання про механізм виникнення I_{∞} буде вирішено до кінця.

ЛІТЕРАТУРА

1. К. Митани. «Проблемы современной физики», 1957, № 5, 115—123.
2. А. А. Кузовников. «Научн. докл. высш. школы», ФМН, 1958, № 4, 191.
3. J. Lassale et J. Roig. Comp. rend. Acad. sci., Paris, 1967, 215, sér. B, p. 57.
4. И. А. Вязьмитинов, В. Н. Костин. «Труды конференций по электронной технике». ГРП, вып. 2(18), 88. Изд-во ин-та «Электроника», М., 1970.
5. В. Н. Костин, В. М. Сорокина и И. В. Томов. ЖТФ, 1968, 38, вып. 6, 1005.
6. А. Мак-Доналд. Сверхвысокочастотный пробой в газах. Изд-во «Мир», М., 1969.

ДОСЛІДЖЕННЯ ВПЛИВУ НЕОДНОРІДНОГО ВЧ-ПОЛЯ НА НАПРУГУ ЗАПАЛЮВАННЯ РОЗРЯДУ В ДОВГИХ ТРУБКАХ

B. V. Білоус, В. М. Костін

Дослідження впливу неоднорідного високочастотного (ВЧ) електричного поля на стаціонарний [1] та імпульсний газовий розряд становить науковий і технічний інтерес. У роботі [1] при дослідженні контракції плазми тліючого розряду ВЧ-полем було відзначено, що при деяких умовах накладання ВЧ- поля може привести до згасання розряду. Спільна дія ВЧ і постійного електричних полів досліджувалася в роботі [2], але в ній розглядався вплив постійного поля на ВЧ-пробій в газі для короткої трубки ($d=3$ см).

У даній статті досліджується вплив ВЧ- поля ($f \sim 10^{-1} \div 10^2$ кГц) на напругу запалювання розряду U_3 в довгих трубках. Від величини U_3 залежить перенапруга на трубках і, отже, характер розвитку імпульсного розряду в них [3].

ВЧ-поле створювалося за допомогою шістдесяти чотирьох металевих кілець, з'єднаних паралельно через одно кільце (ширина кільца 5 мм, зазору — 6 мм) і надітих на трубку ($\varnothing 30$ мм)

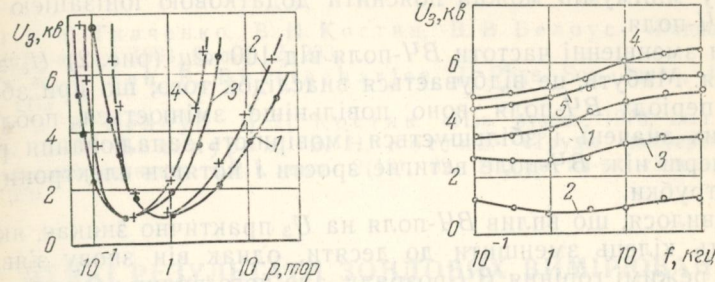


Рис. 1. Залежності U_3 від частоти f : криві 1, 2, 3, 4 — для p повітря $8 \cdot 10^{-2}, 3 \cdot 10^{-1}, 1, 5, 4$ тор; криві 5 — 15 тор гелію; $U_{\infty} = 160$ в.

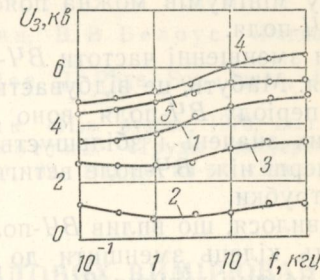


Рис. 2. Залежності U_3 від частоти f : криві 1, 2, 3, 4 — для p повітря $8 \cdot 10^{-2}, 3 \cdot 10^{-1}, 1, 5, 4$ тор; криві 5 — 15 тор гелію; $U_{\infty} = 160$ в.

з відстанню $d=70$ см між алюмінієвими електродами трубки.

На рис. 1 показано залежності U_3 від тиску p для гелію і повітря з ВЧ-полем і без нього. Величина ВЧ-напруги U_{∞} відповідала режиму до запалювання ВЧ-розряду ($U_{\infty} < U_{\infty 3}$). Видно, що ВЧ-поле збільшує напругу запалювання розряду. Розрахунки, проведені з урахуванням розподілу потенціалу в трубці, свідчать, що час дрейфу (t_1) електронів вздовж трубки під дією постійного електричного поля при всіх тисках значно більший, ніж час дрейфу (t_2) їх в радіальному напрямку під дією ВЧ- поля. Так, для гелію при $p \sim 15$ тор ($U_3 \sim 5$ кВ) $t_1 \sim 40$ мксек, $t_2 \sim 0,3$ мксек. Таким чином, ВЧ-поле збільшує кількість електронів, що виходять з нарощуючої вздовж трубки лавини і потрапляють на стінки в передпробійному режимі. Внаслідок цього критичний струм, необхідний для пробою, досягається при більших U_3 . Крім того, ВЧ-поле викликає зменшення результатуючої поздовжньої складової напруженості поля або зміну її напрямку в тих проміжках між кільцями, де в даний час напрямки поздовжніх складових постійного (E_1) і ВЧ- поля (E_2) протилежні. Ці складові порівнювані за порядком величини. Так, при $U = 5$ кВ E_1 поблизу електродів трубки ~ 400 в/см, в середній частині трубки ~ 25 в/см; $E_2 \sim 100$ в/см при $U = 160$ в. Мабуть, імовірність запалювання розряду значно збіль-

шується в ті моменти часу, коли ВЧ-напруга мала. При даних умовах період ВЧ- поля $T \geq t_1$.

Поблизу мінімумів кривих запалювання (рис. 1) ВЧ-поле практично не викликає збільшення U_3 . Одержані залежності $U_{\sim 3}$ від p показали, що мінімуми цих залежностей розташовувалися приблизно при тих самих тисках, що і для U_3 . Отже, коефіцієнт ВЧ-іонізації має максимальну величину для гелію при $p \sim 1$ тор і для повітря при $p \sim 0,3$ тор, і хід кривих (рис. 1) поблизу мінімумів можна пояснити додатковою іонізацією під дією ВЧ- поля.

При зменшенні частоти ВЧ- поля від 100 кгц (рис. 2) U_3 знижується. Мабуть, це відбувається внаслідок того, що при збільшенні періоду ВЧ- поля воно повільніше змінюється поблизу нульових значень і збільшується імовірність запалювання розряду, перш ніж ВЧ- поле встигне зрости і потягти електрони на стінки трубки.

Виявилось, що вплив ВЧ- поля на U_3 практично зникає, якщо кількість кілець зменшити до десяти, однак він знову з'являється в режимі горіння ВЧ- розряду, але його вплив неоднаковий при розміщенні кілець в різних частинах трубки (див. таблицю, де положення 1 — кільце біля катода, 2 — в середній частині трубки, 3 — біля анода). У положеннях 1a, 2a, 3a кільця мали нульовий потенціал по відношенню до катода (середня точка вторинної обмотки ВЧ- трансформатора, що живить кільця, заzemлювалася). Як відомо [4], розвиток розряду починається від високовольтного електрода (в нашому випадку від анода), поблизу якого напруженість поля більша. При переміщенні кілець від положення 1a до положення 3a вона збільшується, що й приводить до зменшення U_3 .

Положення	1	2	3
a) U_3 кв, без ВЧ- поля	7,1	6,7	4,7
b) U_3 кв, з ВЧ- розрядом	5,3	5,7	6,7

У положенні 1б розвиток розряду починається від катода внаслідок підвищеної концентрації початкових електронів. Це підтверджується візуальними спостереженнями, при яких виразно спостерігалася електронна лавина, що розвивалася в напрямку від катода до анода безпосередньо перед пробоєм. U_3 для положення 1б менше, ніж для 1a, бо при розвитку розряду від катода через довший шлях розвитку лавини забезпечується більше підсилення струму лавини. Для положення 2б розвиток розряду починається, як і раніше, від ділянки підвищеної концентрації електронів (величина напруженості поля в ділянці

між кільцями і катодом мала), але внаслідок зменшення шляху розвитку лавини U_3 збільшувалася. У положенні 3б ділянка підвищеної концентрації розташовувалася біля анода, шлях розвитку лавини ще більше скорочувався і U_3 зростала до 6,7 кв. Можливо, що розвиток розряду при цьому починається від анода.

ЛІТЕРАТУРА

1. В. М. Ткаченко, В. Н. Костин, В. В. Белоус. «Радіотехника и електроника», 1964, 9, вып. 2, 293.
2. S. N. Sen, B. Bhattacharjee. J. Phys. Soc. Japan, 1967, 22, № 6, 1477.
3. В. В. Белоус, В. Н. Костин. «Ізв. вузов», 1970, вып. 8, 128.
4. Н. И. Винокуров, В. Н. Костин. «Труды конференции по электронной технике». ГРП, вып. 2(18), 82, Изд-во ин-та «Электроника», М., 1970.

ДЕЯКІ РЕЗУЛЬТАТИ ЗОНДОВИХ ВИМІРЮВАНЬ В РОЗРЯДІ З ПОРОЖНІСТИМ КАТОДОМ

В. Б. Тютюнник, В. М. Ткаченко

Довгий час основне застосування розряду з порожністим катодом знаходив лише в оптичній спектроскопії [1], але потім сфера його використання значно розширилася [2]. Висока концентрація плазми в такому розряді, а також та обставина, що порожністий катод являє собою замкнену металеву структуру, яка одночасно може виконувати роль хвилевода або резонатора, дають підстави вважати перспективним його застосування в технології надвисоких частот [3—4].

Розробка нових газорозрядних приладів неможлива без розрахунку або експериментального визначення ряду параметрів плазми в розряді. В більшості задач газової електроніки провідну роль у вимірюванні основних параметрів плазми зберігають зондові методи [5], які дозволяють, зокрема, визначити локальні величини концентрації і температури електронів. Проте застосування звичайних методів обробки зондovих характеристик при діагностиці розряду з порожністим катодом є суперечливим через виявлені відхилення функції розподілу електронів за швидкістю від максвелівської. Аналіз літературних даних показав, що відхилення функції розподілу від максвелівської полягає в надмірній кількості швидких електронів і проявляється в різній мірі залежно від розміщення зонду, матеріалу і розмірів катода, густини розрядного струму, природи і тиску газу [6—7].

У зв'язку з цим нами проведений детальний аналіз характеристик одиночного зонду в розряді з циліндричним порожністим

катодом (діаметром 15 мм і довжиною 75 мм), конструкція яко-го схематично зображена на рис. 1. Всі вимірювання проведені в режимі безперервного протікання через порожнину катода аргону осібливої чистоти.

Електронні частини зондових характеристик, побудовані на рис. 1 в логарифмічному масштабі, на ділянці, де електронний струм набагато більший іонного, мають чітку лінійну ділянку

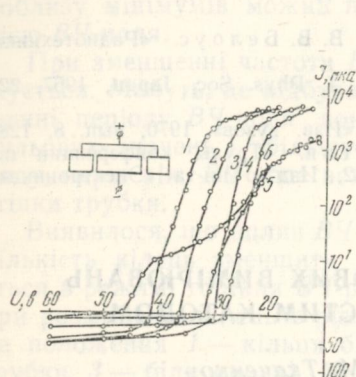


Рис. 1.

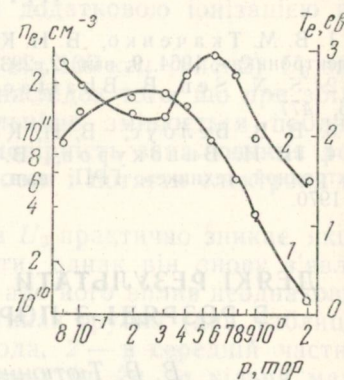


Рис. 2.

(криві 1—4, відповідні тиску 0,08; 0,1; 0,3 та 0,8 тор). Це свідчить про наявність в плазмі максвелівського розподілу електронів за швидкістю [5]. При тисках в декілька тор (при яких, як помічено, зонд не знаходиться в області свічення) характеристики значно викривляються (криві 5—6, тиск 1,5 та 2 тор відповідно). Приведені для прикладу на рис. 1 зондові характеристики одержані при розміщенні зонду в центрі катода і густині розрядного струму $0,5 \text{ ma}/\text{cm}^2$. Слід відзначити, що при більшій густині струму лінійність характеристики зберігається і для тиску більше 2 тор.

На рис. 2 наведено залежності концентрації (крива 1) і температури електронів (крива 2) на осі катодної порожнини у функції тиску аргону при незмінній густині розрядного струму, що дорівнює $1,5 \text{ ma}/\text{cm}^2$. Виявилось, що залежність температури повторює хід напруги горіння розряду із зміною тиску і максимум концентрації відповідає тиску, оптимальному для обра-них розмірів порожнистого катода.

Величина концентрації визначається співвідношенням процесів розмноження і втрат заряджених частинок. Геометрія порожнистого катода така, що в ньому утворюється пастка для емітованих з поверхні катода електронів, які не мають змоги покинуті катодну порожнину або рекомбінувати в об'ємі доти, поки не витратять свою енергію на іонізацію газу. Таким чи-

ном, можна вважати, що ефективність іонізації мало змінюється з тиском газу, а втрати частинок, обумовлені дифузією до ано-дів і рекомбінацією в об'ємі, зростають як при зниженні тиску, за рахунок збільшення коефіцієнта дифузії, так і з підвищенням тиску — за рахунок рекомбінації.

Використання розряду з порожнистим катодом для одержання плазми високої концентрації вигідне тому, що при фіксованій густині розрядного струму найбільша концентрація досягається при тиску, для якого напруга горіння і потужність, затрачувана на розряд, мінімальні. Крім того, утворюється стовп плазми, порівняно однорідний по перерізу катодної порожнини, і температура електронів у ньому невелика.

ЛІТЕРАТУРА

1. С. Толанский. Спектроскопия высокой разрешающей силы, Изд-во иностр. лит-ры, М., 1955.
2. Б. И. Москалев. Розряд с полным катодом. «Энергия», М., 1969.
3. K. G. Hennqvist. RCA Rev., 1958, **19**, 35.
4. В. М. Ткаченко, В. Б. Тютюнник. Труды конференций по электронной технике. «Газоразрядные приборы», вып. 2(18). Рязань, 1970.
5. О. В. Козлов. Электрический зонд в плазме. Атомиздат, М., 1969.
6. В. С. Бородин, Ю. М. Каган. ЖТФ, 1966, **36**, 181.
7. В. Л. Афанасьева, А. В. Лукин, К. С. Мустафин. ЖТФ, 1967, **37**, 327.

КОЕФІЦІЕНТ КОРИСНОЇ ДІЇ ДІОДА ГАНА В КОЛІ З ІНДУКТИВНІСТЮ

В. М. Арендар, Е. Д. Прохоров

Теоретично і експериментально робота діода Гана в колі з індуктивністю була розглянута в [1]. Нижче подається кількісний аналіз періоду коливань і к. к. д. діода Гана в колі з індуктивністю.

Розглянута схема генератора показана на рис. 1. Коли вважати, що паразитні ємності і ємність домена дуже малі, то процеси в схемі (рис. 1) описуватимуться циклом *ABCD* при $U \sim U_n$ і циклом *AKLMN* при $U = U_n + \Delta U_n$ [1]. Одержані при цьому форми коливань струму і напруги наведена на рис. 1. Коли домен створився, постійна часу кола дорівнює

$$\tau_1 = \frac{L}{R_n \cdot R_d(t)} [R_n + R_d(t)], \quad (1)$$

де L — індуктивність у колі; R_n — опір навантаження; $R_d(t)$ — опір діода з доменом. Вираз для τ_1 правильний при живленні схеми джерелом напруги ($R_{\text{ви}} < R_d$, $R_{\text{ви}} < R_n$).

Після рекомбінації домена на аноді напруга на діоді буде наблизатися до напруги живлення з постійною часу τ_2 , що дорівнює

$$\tau_2 = \frac{L}{R_n \cdot R_0} (R_n + R_0), \quad (2)$$

де R_0 — опір діода без домена.

Для розрахунку характеристик генератора необхідне знання динамічних вольт-амперних характеристик діодів (початкові

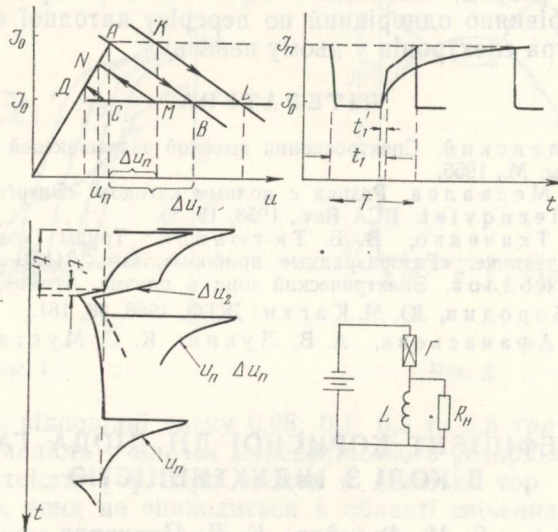


Рис. 1.

ділянки за напругою динамічних характеристик залежать від $n_0 \cdot l$ [2]). В цьому аналізі відібрано характеристики з $n_0 l > 10^{12} \text{ см}^{-2}$, при чому величина ΔI при $U \approx U_n$ відрізняється не більше, ніж на 10%. Таким чином, при розрахунках можна користуватися характеристикою, наведеною на рис. 1. Величина

$$\Delta U_1 = (I_n - I_0) \cdot R_n \quad (3)$$

не залежить від прикладеної напруги. Величина ΔU_2 залежить від прикладеної напруги і, як можна показати, визначається таким чином:

$$\Delta U_2 = \frac{U_n + \Delta U_n - I_0 R_0}{1 + \frac{R_0}{R_n}}, \quad \Delta U_n \ll \Delta U_1.$$

Величина стрибка $\Delta I'$ дорівнює:

$$\Delta I' = (U_n + \Delta U_n - I_0 R_0) (R_0 + R_h)^{-1}; \quad \Delta U_n \leq \Delta U_1. \quad (4)$$

При $\Delta U_n > \Delta U_1$ індуктивність не впливає на період коливань струму і напруги і $\Delta U_2 = \Delta U_1$. Враховуючи значення ΔU_1 , ΔU_2 , $\Delta I'$ і вид вольт-амперної характеристики діода Гана, визначимо форму коливань струму і напруги. Форма напруги матиме вигляд

$$U(t) = \begin{cases} U_n + \Delta U_n + \Delta U_1 \exp\left(-\frac{t}{\tau_1}\right), & 0 \leq t \leq t_1 - t' \\ U_n + \Delta U_n - \Delta U_2 \cdot \frac{t - (t_1 - t')}{t'}, & t_1 - t' < t < t_1 \\ U_n + \Delta U_n - \Delta U_2 \cdot \exp\left(-\frac{t - t'}{\tau_2}\right), & t_1 < t < T, \end{cases} \quad (5)$$

де $t' = \frac{l_d}{v_{dp}}$ — час рекомбінації домена на аноді; l_d — ширина домена; v_{dp} — швидкість дрейфу домена; T — період коливань. Форма струму через діод матиме вигляд

$$I(t) = \begin{cases} I_0, & 0 \leq t < t_1 - t' \\ I_0 + \Delta I' \frac{t - (t_1 - t')}{t'}, & t_1 - t' < t < t_1 \\ \frac{1}{R_0} \left[U_n + \Delta U_n - \Delta U_2 \exp\left(-\frac{t - t_1}{\tau_2}\right) \right], & t_1 < t < T. \end{cases} \quad (6)$$

Період коливань генератора T складається з часу дрейфу домена від катода до анода t_1 і часу t_2 , протягом якого напруга на діоді досягне порогового значення U_n . Звідси період коливань струму і напруги дорівнює

$$T = t_1 + \tau_2 \ln \left(\frac{U_n + \Delta U_n - I_0 R_0}{U_n + \Delta U_n - I_0 R_0 - \Delta U_2} \right). \quad (7)$$

Формула (7) справедлива для напруг $U_n < U \leq U_n + \Delta U_1$. З аналізу (7) виходить, що частота генератора може змінюватися від низьких частот до прольотної, що експериментально спостерігалося в роботах [2, 3]. Діапазон перестройки за напругою залежить від опору навантаження. Чим вище R_h , тим в більшому інтервалі за напругою можна перестроювати генератор. Навпаки, при малих R_h перестройка за частотою може бути незначною в зв'язку з тим, що $\Delta U_1 \ll U_n$.

Застосувавши розклад в ряд Фур'є до форми струму і напруги, визначимо постійні складові частини струму і напруги (\bar{U}_\sim , \bar{I}_\sim) і амплітуди перших гармонік струму і напруги (\hat{U}_\sim , \hat{I}_\sim). Потужність, що споживається діодом, дорівнює $P_0 = I_\sim U_\sim$. Потужність першої гармоніки, що виділяється на R_h , становить

$$P_\sim = 1/2 U_\sim I_\sim. \text{ К. к. д. генератора} = \frac{P_\sim}{P_0} 100\%. \text{ На рис. 2 по-}$$

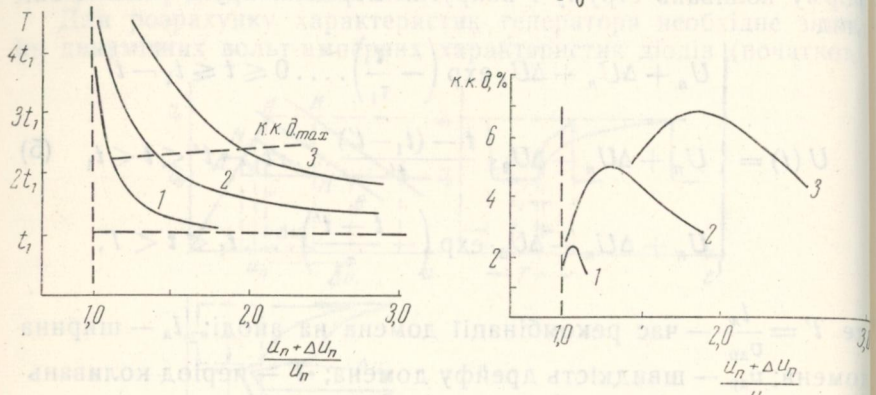


Рис. 2.

казано деякі результати розрахунків для першої гармоніки при $\frac{\Delta I}{I_0} = 0,4$: 1) $R_h = 2,5 R_0$, $\tau_1 = 0,4 t_1$, $\tau_2 = 0,8 t_1$, L_0 ; 2) $R_h = 12,5 R_0$, $\tau_1 = 0,4 t_1$, $\tau_2 = 1,6 t_1$, $3,5 L_0$; 3) $R_h = 25 R_0$, $\tau_1 = 0,4 t_1$, $\tau_2 = 4 t_1$, $7 L_0$.

Аналіз роботи діода Гана в колі з індуктивністю дає змогу зробити такі висновки: 1) діапазон перестройки генератора залежить від прикладеної напруги ΔU_n і завжди складає величину $\Delta U_1 = \Delta I / R_h$; 2) к. к. д. генератора має максимум при напругах до $U_n + 0,1\Delta U_n$; 3) частота, на якій генератор має максимальний к. к. д., становить $\sim \frac{f_{\text{пр}}}{2}$; 4) к. к. д. генератора збільшується із зростанням опору навантаження, що складає приблизно $10-20 R_0$. Максимальний к. к. д. генератора при $\frac{\Delta I}{I_0} \sim 0,4$

становить 7% , для $\frac{\Delta I}{I_0} \sim 0,5 - 10\%$ (цифри наведено з урахуванням того, що $t' \ll t_1$, $t'_1 \ll t_1$).

ЛІТЕРАТУРА

1. В. А. Петров, Э. Д. Прохоров. «Радиотехника и электроника», 1969, № 9, том 14, стр. 1713.

2. W. Heinle. Electronik letters, 1967, 3, 52.

3. D. E. Dow, C. H. Mosher, A. B. Vane. IEEE Trans. Elect. Dev, 1966, 1, 105.

ПРО ВПЛИВ ОПОРУ РОЗТІКАННЯ n БАЗИ НА ВАХ ГЕРМАНІЄВИХ $p-n-p-m$ СТРУКТУР

М. О. Шеховцов, О. Л. Рвачов, Л. С. Ротач

Вплив опору розтікання бази на ВАХ (вольт-амперну-характеристику) чотиришарових структур теоретично досліджувався у кремнієвих $p-n-p-n$ структур [1, 2]. При цьому всі області $p-n-p-n$ структури у ввімкненому станах вважалися квазінейтральними. Аналіз процесів у симетричній $p-n-p-n$ структурі в напрямку струму показує, що при високих опорах бази і обмеженому витіканні емітерного $p-n$ переходу можливе одержання ВАХ з декількома ділянками позитивного та негативного диференціального опору (НДО) [1]. Малі опори розтікання базових областей симетричної та різко несиметричної $p-n-p-n$ структур не впливають на ВАХ [2]. Експериментально у германієвих $p_{1,2}-n-p-n$ структур з двома окремими замкненими p_1 і p_2 емітерами на ВАХ спостерігалося дві ділянки НДО [3].

У даній роботі дослідження впливу опору розтікання на ВАХ германієвих $p-n-p-m$ структур провадилися шляхом вивчення впливу на ВАХ прикладуваної до n бази поздовжньої напруги. Поздовжня напруга на базі, як і неоднорідність властивостей по площині емітерного переходу, призводить до неоднакового зниження його потенціального бар'єру. Досліджувався також вплив опору розтікання n бази на процес перетворення ВАХ діодного типу на ВАХ тиаратронного типу при шунтуванні емітерного $p-n$ діода.

Дослідження проводилися на $p-n-p-m$ структурах (m -олово), одержаних методом подвійної дифузії з розплаву на основі германію p типу з питомим опором $3 \text{ ом} \cdot \text{см}$. Мала концентрація донорів у n базі на границі з p емітером $N_{d0} \approx 3 \cdot 10^{17} \text{ см}^{-3}$ забезпечувала $p-n-p-m$ структурами при відімкненій n базі ВАХ діодного типу, а при шунтуванні емітерного $p-n$ діода — ВАХ тиаратронного типу [4]. Колекторний $n-p$ перехід виконувався у вигляді смужки розміром $0,5 \times 1,5 \text{ мм}$, а емітерний $p-n$ перехід — у вигляді круга діаметром $0,5 \text{ мм}$.

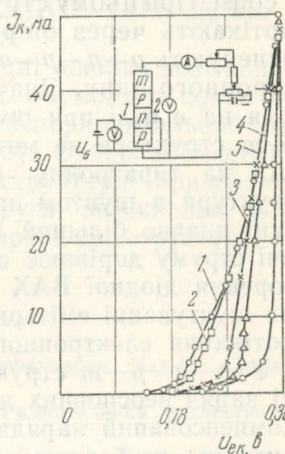


Рис. 1.

Відстань між виводами n бази, призначеними для створення поздовжньої напруги, була близько 1 мм.

Характеристика n бази $i_B = f(U_B)$ при відімкнених емітері та колекторі $p-n-p-m$ структури до $U_B = 6 b$ була лінійною і не залежала від полярності напруги U_B .

Дослідження характеристики $i_k = f(U_{ek})$ $p-n-p-m$ структури ($U_{ek} = 0,42 b$ при $I_k = 0,1 a$) при відімкнених n і p базах та різних поздовжніх напругах на n базі U_B (рис. 1, криві $1 - U_{1,2} = 0,2 - U_{1,2} = 0,1 v$, $3 - U_{1,2} = 0,5 v$, $4 - U_{1,2} = 1 v$, $5 - U_{1,2} = 5 v$) показало, що збільшення U_B , не змінюючи діодного типу характеристики $i_k = f(U_{ek})$, збільшує U_{ek} при $i_k = \text{const}$. При цьому струм i_B значно більший струмів n бази, що протікають через опір шунтів емітерного $p-n$ діода, які забезпечують $p-n-p-m$ структурі характеристику $i_k = f(U_{ek})$ тиратронного типу. Значить, поява поздовжнього електричного поля на n базі при шунтуванні емітерного $p-n$ діода $p-n-p-m$ структури не може бути причиною перетворення діодної ВАХ на тиратронну. Струм через всі переходи $p-n-p-m$ структури з шунтом на емітерному $p-n$ діоді у вимкненому стані значно більший від струму, при якому коефіцієнт передачі струму дорівнює одиниці. Тому можна вважати, що перетворення діодної ВАХ на тиратронну в $p-n-p-m$ структур при шунтуванні емітерного $p-n$ діода обумовлено зміною умов протікання електронного і діркового струмів у структурі.

У $p-n-p-m$ структури з шунтом на емітерному $p-n$ діоді заряд неосновних нерівноважних носіїв у n базі може бути скомпенсований зарядами основних нерівноважних носіїв, що приходять по базовому колу через опір шунта. В цьому випадку процес встановлення дифузійно-дрейфової рівноваги в n базі характеризується постійною Максвелла $\Theta = \frac{\epsilon}{4\pi\sigma_n}$, де ϵ — діелектрична стала; σ_n — провідність. У $p-n-p-m$ структури з відімкненою n базою на шляху появи основних нерівноважних носіїв заряду в середні n і p області знаходяться $p-n$ і $m-p$ переходи з сильними електричними полями, що забезпечують просторовий розділ електронів і дірок. Тому процес встановлення дифузійно-дрейфової рівноваги у відімкненій n базі не може характеризуватися постійною Максвелла.

Оскільки U_{ek} при наявності U_B більша, ніж при $U_B = 0$ ($i_k = \text{const}$), то можливість появи ділянки НДО на ВАХ структури у випадку її появи існує. Однак на характеристиках $i_k = f(U_{ek})$ (рис. 1) ділянка НДО не спостерігається.

Залежність U_{ek} від U_B із зростанням i_k стає більш слабкою і при $i_k \geq 50 \text{ ma}$ практично не існує (рис. 1). Це пояснюється зміною співвідношення величин поздовжнього й поперечного електричних полів у n базі. Поки поздовжня складова поля

більша або сумірна з поперечною складовою, частина нерівноважних носіїв заряду, дрейфуючи до одного з базових контактів і рекомбінуючи на ньому, не бере участі в процесі зростання струму через структуру. Про це свідчить зростання струму n бази i_B при збільшенні струму i_k при $U_B = \text{const}$. Із зростанням поперечної складової поля кількість нерівноважних носіїв заряду, що не беруть участі в процесі зростання струму, збільшується. В результаті залежність i_B від i_k при $U_B = \text{const}$ при більших i_k послаблюється.

Дослідження $p-n-p-m$ структур з ВАХ тиратронного типу при відімкнених n і p базах показало, що поздовжня напруга на n базі U_B змінює напругу ввімкнення U_{vkl} структури, не викликаючи появи додаткових ділянок НДО. Зміна U_B від 0 до 1 v збільшувала U_{vkl} від 37 до 59 v.

Таким чином, можна вважати, що малі опори розтікання бази чотиришарової структури не можуть обумовити появи на ВАХ додаткових ділянок НДО. Цей експериментальний результат підтверджує висновки роботи [2]. Однак збільшення опору розтікання бази чотиришарової структури призводить у відімкненому стані до зростання напруги ввімкнення, а у відімкненому стані збільшує падіння напруги на структурі.

ЛІТЕРАТУРА

1. А. И. Уваров. Сб. «Физика $p-n$ переходов». Изд-во «Зинатне». Рига, 1966. 508.
2. А. И. Губанов, Н. А. Гущина. «Радиотехника и электроника», 1957, XII, № 8. 1454.
3. А. А. Пурхванидзе, В. И. Стafeев. «Радиотехника и электроника», 1965, X, № 12, 2262.
4. Н. А. Шеховцов, А. А. Мишнев, Л. С. Ротач. «Радиотехника и электроника», 1969, XIV, № 12, 2270.

ЕЛЕКТРОФІЗИЧНІ ВЛАСТИВОСТІ СПЛАВІВ BiSb

В. Т. Плаксій, О. О. Пересунько, В. М. Світличний

Останнім часом з'явилося чимало робіт, присвячених дослідженням електрофізичних властивостей напівметалічних сплавів вісмут — сурма (BiSb) [1—3]. Причиною такої уваги дослідників до цих матеріалів є своєрідна структура їх енергетичних зон, що обумовлює ряд цікавих кінетичних явищ, властивих матеріалам цього класу. Особливий інтерес викликають явища, пов'язані з розповсюдженням в цих сплавах механічних і електромагнітних коливань, оскільки вони дозволяють в найближчому майбутньому розробити ряд пристрій, призначених для генерації та індикації короткохвильового НВЧ випромінювання. Крім того, продовжуються пошуки нового застосо-

сування термоелектричних явищ в цих матеріалах. Так, у наших дослідженнях [4, 5] повідомлялося про можливість створення на основі сплавів BiSb високочутливих і малоінерційних індикаторів сантиметрового й міліметрового діапазонів.

Результати досліджень електрофізичних властивостей BiSb, проведених окремими авторами, часто не узгоджуються між собою, а подекуди їх висновки мають суперечливий характер. Найбільш імовірно, що причиною цього є структурна недосконалість матеріалів, на яких проводилися експерименти.

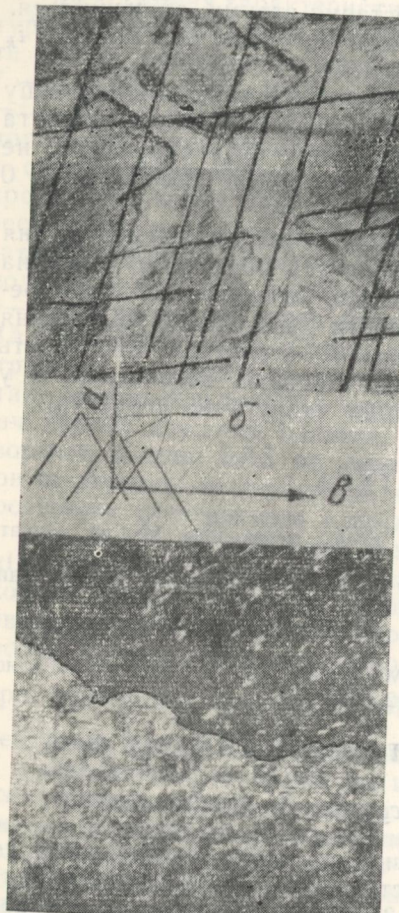


Рис. 1. а) Фігури травлення на площині (1, 1.1) (збільшення 110); б) Визначення напрямків бінарної (b) і бісекторної (a) осей за розташуванням фігур травлення (б); в) Протравлення поверхні полікристалічного зразка BiSb (збільшення $\times 110$).

стан поверхні, як ми в цьому переконалися, дає хімічне травлення в концентрованій азотній кислоті. Протравлюванню передувало шліфування абразивним порошком з середнім діаметром зерна 1 мк. Протравлювання проводилося без підігрівання, при цьому швидкість видалення пошкодженого матеріалу з поверхні досягала 1–2 мк/сек. Сліди механічних пошкоджень зникають вже протягом 20 сек, але чітка сітка фігур травлення, характерна для ромбоедричної структури вісмуту, з'являється після протравлювання протягом однієї хвилини, коли знімається приповерхневий шар товщиною приблизно 100 мк. У тому випадку, коли треба одержати меншу швидкість стравлювання поверхні, доцільно до азотної кислоти додавати органічну кислоту (винну чи лимонну) з розрахунку декілька грамів на літр. Після такого протравлювання одержується вільна від окисної плівки поверхня з чіткими фігурами травлення (рис. 1, а). Пропонований травник за розташуванням цих фігур дає змогу визначити напрямки бінарної і бісекторної кристалографічних осей, що лежать в площині сколювання, перпендикулярні до тригональної осі (рис. 1, б). Крім того, можна оцінювати ступінь досконалості кристалічної структури кристалів, оскільки цей травник селективно діє на різні кристалографічні площини, завдяки чому при наявності мозаїчної структури або окремих блоків останні досить чітко виявляються після протравлення (рис. 1, в).

Для вимірювання параметрів монокристалів була виготовлена установка, в основу якої покладено прилад, описаний в роботі [9]. При розрахунках брався до уваги той факт, що при протіканні струму через зразок BiSb спостерігається перепад температури між контактами, обумовлений ефектом Пельтьє, що спричиняє появу відповідної термо-е. р. с.

На рис. 2, а показана залежність питомого опору монокристалів від процентного вмісту сурми. Питомий опір збільшується від $0,9 \cdot 10^{-4}$ ом·см до $1,52 \cdot 10^{-4}$ ом·см при зміні концентрації сурми від 0 до 12%, а далі він знову зменшується. Залежність питомого опору від температури, як видно з рис. 2, б, має «металевий» характер. Питомий опір полікристалічних зразків у декілька разів перевищує питомий опір монокристалів, що можна пояснити як результат додаткового розсіювання носіїв заряду на границях блоків.

Дослідження свідчать, що незалежно від процентного вмісту сурми, всі сплави (до 30 ат. %) мали термо-е. р. с., яка відповідає електронній провідності. На рис. 2, г показана залежність диференціальної термо-е. р. с. від процентного складу сурми у сплаві. Як видно, сплав $Bi_{94}Sb_6$ має максимальне значення α , а $Bi_{70}Sb_{30}$ — мінімальне серед досліджених зразків. Характер залежності $\alpha = f(C_{sb})$ відповідає літературним даним [2].

Неабиякій інтерес має залежність термо-е. р. с. від температури і магнітного поля. На рис. 2, *d* наведена залежність $\alpha(T, H_{\perp})$ для монокристалу $Bi_{94}Sb_6$. Бачимо, що із збільшенням температури термо-е. р. с. зменшується, що, можливо, пов'язано з розширенням перекриття зон і відповідним збільшенням

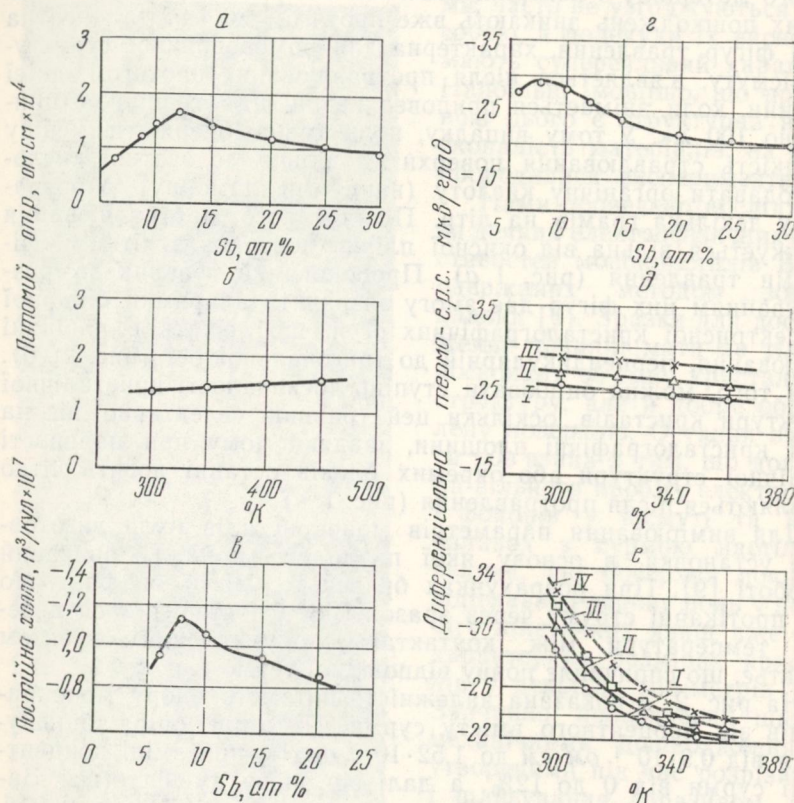


Рис. 2. а) Залежність питомого опору ρ від вмісту сурми в сплаві $BiSb$; б) Залежність питомого опору ρ від температури; в) Залежність постійної Холла від процентного вмісту сурми в сплаві $BiSb$; г) Залежність α від вмісту сурми в сплаві $BiSb$; д) Залежність α від температури та поперечного магнітного поля H_{\perp} (І — $B=0$; ІІ — $B=1100$ Гс, ІІІ — $B=1400$ Гс); е) Залежність α від температури та поздовжнього магнітного поля H_{\parallel} (І — $B=0$, ІІ — $B=40$ Гс, ІІІ — $B=5$ Гс, ІV — $B=60$ Гс).

концентрації носіїв заряду. У магнітних полях α зростає, що може бути пояснено розходженням зон під дією магнітного поля. Характер залежності α від температури залишається переднім і в магнітному полі, бо обидва механізми діють неза-

лежно один від одного. Накладання поздовжнього магнітного поля також приводить до збільшення термо-е. р. с. (рис. 2, *e*).

Постійна Холла для сплавів $BiSb$ є величиною тензорною. Для нас важливе значення має складова частина постійної Холла, що паралельна бінарним осям. Постійна Холла вимірювалась в слабких магнітних полях, коли R_x не залежить від величини магнітного поля. Критерій магнітного поля ($\mu H/c \ll 1$) виконувався з достатнім запасом. На підтвердження даних роботи [3] всі досліджені нами зразки мали негативне значення постійної Холла при кімнатній температурі в магнітних полях до 1800 Гс.

На рис. 2, *c* наведено залежність R_x від процента вмісту сурми в сплавах $BiSb$. Максимальне значення має постійна Холла для сплаву $Bi_{92}Sb_8$. Залежність R_x від температури для всіх сплавів дуже слабка.

ВИСНОВКИ

1. Методика вирощування монокристалів $BiSb$, описана нами в [6], дає можливість одержувати кристали, які за досконалістю кристалічної структури та своїми електрофізичними властивостями майже не відрізняються від тих, що здобуті за допомогою більш громіздких методів, описаних іншими авторами.

2. Електрофізичні властивості сплавів $BiSb$ у дослідженному нами інтервалі концентрації сурми відповідають електронному типові провідності цих матеріалів.

3. Весь комплекс досліджень показує, що добавка сурми (до 8—10 at. %) приводить до зменшення перекриття зони провідності з валентною зоною. Аналогічне явище спостерігається при накладанні зовнішнього магнітного поля.

ЛІТЕРАТУРА

1. A. L. Jain. Phys. Rev., 1959, v. 114, n. 6, 1518.
2. G. E. Smith, R. Wolfe. J. of Appl. Phys., 1962, v. 33, n. 3, 841.
3. Г. А. Иванов, А. М. Попов. ФТТ, 1963, т. 5, вып. 9, 2409.
4. В. Т. Плаксий, В. М. Светличный, В. В. Кобец. «Радиотехника». Республіканський межведомственный научно-технический сборник, 11, 114, Ізд-во ХГУ, Харків, 1969.
5. В. Т. Плаксий, В. М. Светличный. «Ізвестия вузов, Радиоелектроника», 1970, 13, № 11, 1385
6. В. М. Светличный, В. Т. Плаксий, В. А. Петров. «Рефераты докладов юбилейной научно-технической конференции ХГУ». Ізд-во ХГУ, Харків, 33, 1967.
7. J. E. Aubrey, C. J. Greasly, Solid State Phys., 1969, s. 2, v. 2, 824.
8. D. M. Brown, J. K. Neumann. J. of Appl. Phys., 1964, v. 33, n. 6, 1947.
9. О. В. Емельяненко, Н. В. Тришин. ПТЭ, 1960, 1, 78.

ВИМІРЮВАННЯ ДІЕЛЕКТРИЧНИХ ПАРАМЕТРІВ ВОДЯНИХ РОЗЧИНІВ ДЕЯКІХ ПАРАМАГНІТНИХ СОЛЕЙ

Л. М. Дранов, Л. Д. Стьопін

Дослідженням діелектричних властивостей водяних розчинів електролітів присвячено багато робіт, але серед них практично відсутні роботи, в яких розглядалися б розчини парамагнітних солей. З другого боку, взаємодія іонів перехідних груп з лігандами (і з молекулами води в тому числі) має ряд особливостей, обумовлених здатністю таких іонів утворювати комплексні сполуки.

У даній роботі викладено результати вимірювання діелектричних параметрів водяних розчинів солей CuCl_2 , MnCl_2 , CoCl_2 . Вимірювання проводилися при кімнатній температурі на частоті 9410 $\text{M}\text{гц}$ H_{01n} -резонаторним методом з аксіальним розташуванням зразків [1].

При використанні резонаторних методів безпосередньо вимірюється власна частота і добротність резонатора без зразка та з зразком. Теорія методу зв'язує ці величини з діелектричними параметрами досліджуваної речовини.

Вимірювання власної частоти і добротності резонатора може виконуватися різними засобами. У залежності від цього реалізуються різні схемні варіанти діелектрометрів. Нами була використана установка, блок-схема якої наведена на рис. 1.

Джерелом НВЧ-потужності є клістрон 3-сантиметрового діапазону хвиль. На відбивач клістрона подається модулююча напруга від генератора пилкоподібної напруги, що являє собою інтегруючий підсилювач [2]. Коливання НВЧ крізь аттенюатор, феритовий вентиль надходять у циліндричний резонатор P , розрахований на хвилю H_{01n} , а також у хвилемір високої точності. Потужність, яка пройшла крізь резонатор, детектується кристалічним детектором і реєструється індикаторним пристроєм, яким був самописець.

Робоча частина зони генерації клістрона була вибрана з міркувань найбільшої лінійності зміни частоти клістрона залежно від напруги на відбивачі. У нашому випадку був використаний діапазон 9400–9420 $\text{M}\text{гц}$. Початкова напруга на відбивачі клістрона встановлюється такою, щоб частота, яка генерується, була дещо нижчою за 9400 $\text{M}\text{гц}$. Після цього інтегруючий підсилювач переводиться в режим інтегрування і починається прокачування частоти клістрона. При збіганні частот клістрона і хвилеміра, настроєного на 9400 $\text{M}\text{гц}$, в телефонах хвилеміра чути нульові биття, в цей момент включається самописець. Під час запису резонансної кривої резонатора, який повинен бути розрахований на частоту в межах робочої частоти

ни зони генерації, хвилемір перестроюється на частоту 9420 $\text{M}\text{гц}$. Коли з'являються нульові биття, самописець вимикається.

Оскільки початкове і кінцеве значення частот, тобто ціна поділки стрічки самописця відомі, за записаною резонансною кривою легко знайти власну частоту і добротність резонатора.

Викладена схема вимірювання дає змогу визначити діелект-

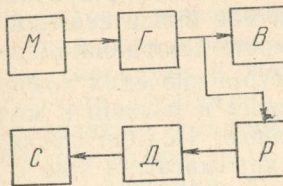


Рис. 1. Блок-схема діелектрометра (Γ — генератор, P — вимірювальний резонатор, B — хвилемір високої точності, D — кристалічний детектор, C — самописець, M — модулятор).

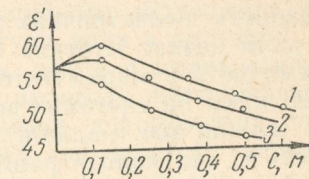


Рис. 2. Залежність ϵ' від концентрації солі в присутності 1, 2 M гліцину (1 — GuCl_2 ; 2 — MnCl_2 ; 3 — CoCl_2).

ричні параметри води і водяних розчинів електролітів з похибкою, що не перевищує 1,5% для ϵ' і 7% для ϵ'' .

Результати вимірювання діелектричних констант водяних розчинів солей CuCl_2 , MnCl_2 , і CoCl_2 наведені в таблиці. В усіх випадках видно зменшення дійсної частини діелектричної проникності ϵ' і зростання уявної частини ϵ'' . Останнє є наслідком зростання іонних втрат з підвищеннем концентрації іонів. Зменшення ϵ' пов'язане з процесами комплексоутворення і гідратації. Молярний декремент ϵ' в усіх випадках практично одинаковий і дорівнює 24. За величиною декремента можна оцінити кількість молекул води в оболонках іонів Cu^{2+} , Mn^{2+} та Co^{2+} (гідратація іонів Cl^- , як відомо, практично відсутня).

Діелектричні параметри водяних розчинів солей CuCl_2 , MnCl_2 і CoCl_2

$C, [\text{M}]$	CuCl_2		MnCl_2		CoCl_2	
	ϵ'	ϵ''	ϵ'	ϵ''	ϵ'	ϵ''
0,000	64,0	30	64,0	30	64,0	30
0,125	61,0	32	60,6	33	61,4	31
0,250	58,5	34	57,9	35	59,2	32
0,375	55,5	37	55,7	36	56,7	35
0,500	54,5	39	54,4	38	54,9	37

Скориставшись формулою [3]

$$n = 1000 \gamma / \epsilon_0' M,$$

де γ — молярний декремент ϵ' ; ϵ_0' — діелектрична проникність; M — молекулярна вага чистого розчинника, одержимо, що $n \approx 20$. З другого боку, з радіоспектроскопічних даних відомо, що розглянуті іони утворюють з водою аквакомплекси з координатним числом 6. Одержана нами оцінка числа гідратації свідчить, що вплив поля іона на ліганди має більш сильний характер і охоплює другу, а можливо, й третю координаційну сферу.

Залежність діелектричних параметрів вивчених розчинів від концентрації зазнає істотних змін, коли в розчині є молекули, які взаємодіють з парамагнітним іоном. Подібні дослідження проведені нами на системах вода — парамагнітна сіль — аміно-кислота (гліцин або α -аланін). На рис. 2, наприклад, показана залежність ϵ' від концентрації солі при наявності в розчині 1,2 M гліцину. Аналогічна залежність має місце і при домішуванні α -аланіну. Початкові значення ϵ' визначаються наявністю в розчині гліцину або α -аланіну ($\gamma = 6,5$). Додання парамагнітної солі, однак, не приводить до адитивного додавання декрементів. Навпаки, ϵ' при малих концентраціях солі навіть зростає, що однозначно вказує на утворення комплексів парамагнітних іонів з гліцином. Цей процес супроводиться зменшенням загальної кількості зв'язаної води в системі. Інтенсивність максимумів на кривих рис. 2 і місце їх знаходження зв'язані, очевидно, з стійкістю комплексів, що утворюються.

ЛІТЕРАТУРА

1. В. Б. Казанский, Л. Д. Степин. «Радиотехника и электроника», 1962, 7, 173.
2. А. А. Чесноков. Решающие усилители. «Энергия», Л., 1969.
3. G. B. Hasted, D. M. Ritson, C. H. Collie. J. Chem. Phys., 1948, 16, 1.

ДІЕЛЕКТРИЧНА ПРОНИКНІСТЬ СИРОВАТКИ КРОВІ В ТРИСАНТИМЕТРОВОМУ ДІАПАЗОНІ ХВИЛЬ

Л. Д. Стьопін, Л. М. Снопік, В. І. Губський, Л. Г. Яновська

Дослідження діелектричних властивостей сироватки крові нечисленні, що, можливо, пояснюється багатокомпонентністю системи, і, як наслідок цього, складністю інтерпретації експериментальних даних. Разом з тим загальновідомо, що вивчення такого важливого макроскопічного параметра речовини, як

діелектрична проникність, дає досить істотну інформацію про її структуру і властивості, особливо коли вимірювання проводяться в області дисперсії найважливіших компонент системи.

До цього часу вивчення діелектричних властивостей сироватки крові провадилося в діапазоні дисперсії її білків [1, 2], що дозволило авторам зробити висновки про особливості останніх при деяких патологіях. У 3-сантиметровому діапазоні діелектричні параметри цього важливого середовища організму не досліджувалися, незважаючи на те, що цей діапазон дозволяє вивчати стан води в рідині. Вода ж, як відомо, є основним компонентом сироватки в концентраційному відношенні. Крім того, результати досліджень структури води в організмі, що широко провадяться останнім часом, дають підстави вважати, що вода відіграє велику роль в усіх процесах життєдіяльності. Таким чином, вивчення діелектричних властивостей сироватки крові у вказаному діапазоні набуває великого значення.

Дослідження провадилися на сироватці крові восьми груп безпородних щурів, що зазнавали надзвичайного впливу на організм, який викликав різні порушення метаболізму. Методика цього впливу докладно подана в роботі [3]. Тут вкажемо тільки на те, що перша група тварин була контролем, друга підлягала впливу травми під наркозом, третя — наркоз, четверта — травма без знецуплювання. П'ята — восьма групи підлягали впливам, що відповідали I — IV групам, але на фоні 3% гідратації щурів.

Діелектрична проникність сироватки вимірювалася H_{01n} -резонаторним методом [4]. Похибка відносних вимірювань дорівнювала $\pm 0,1$. Результати експерименту з статистичними похибками середніх значень наведено в таблиці, де зірочкою у верхньому кутку позначено дані, що вірогідно відрізняються від контролю, а зірочкою в нижньому кутку — результати, які значно відрізняються від 5-ї групи. Дані, позначені крапкою, мають статистично виявлену тенденцію до зміни відносно контролю.

Результати експерименту яскраво свідчать про те, що наслідком надзвичайних впливів на організм є значні зміни діелектричної проникності сироватки крові.

Зіставляючи показники є' з концентрацією білкових компонент сироватки крові, яку визначали за допомогою рефрактометрії, можна стверджувати, що більша частина змін у діелектричній проникності сироватки відбувається завдяки змінам загальної концентрації білка в ній. Це цілком зрозуміло, бо саме білки найбільше змінюють кількість води в сироватці. Деяка ж невідповідність змін концентрації білків і значень є' (наприклад, у III, IV і VIII групах тварин) пояснюється тим, що діелектрична проникність сироватки крові прямо пропорціональна відносній кількості не всієї води, а тільки тій її частині,

Надвисокочастотна діелектрична проникність і загальна
концентрація білка в сироватці крові щурів

Групи	1	2	3	
ϵ'	$56,4 \pm 0,2$	$58,5 \pm 0,4$	$57,9 + 0,2$	*
$C_{3,6} \cdot z \%$	$7,1 \pm 0,3$	$5,6 \pm 0,2$	$6,8 + 0,4$	*
4	5	6	7	8
$55,8 \pm 0,3$	$57,3 \pm 0,1$	$57,5 \pm 0,4$	$57,7 \pm 0,3$	$57,6 \pm 0,2$
$7,9 \pm 0,3$	$6,2 \pm 0,2$	$6,1 \pm 0,2$	$6,4 \pm 0,2$	$6,8 \pm 0,3$

що знаходиться у вільному стані. Різна гідратаційна здатність білкових компонент сироватки (завдяки чому змінюється відносна кількість зв'язаної води) і може привести до такої не-відповідності. Зміни ж у рівні ϵ' саме й ілюструють той факт, що при надзвичайних впливах на організм збільшується кількість вільної води в сироватці крові.

ЛІТЕРАТУРА

1. В. А. Зорэ, О. Д. Кимерфельд и др. «Биофизика», 1967, 12, 1, 124.
2. В. А. Зорэ, В. В. Суздалева и др. «Труды МОИП», т. 32, «Наука», М., 1970, 107.
3. В. И. Губский, Л. Г. Яновская. БЭБМ, 1970, № 1, 38.
4. О. И. Душейко, В. В. Муравьев, Л. Д. Степин. «Биофизика», 1971, 16, 254.

НАКОПИЧЕННЯ І СТИКІСТЬ РАДІАЦІЙНИХ ДЕФЕКТІВ У МОЛЕКУЛЯРНИХ КРИСТАЛАХ

I. M. Комар, O. T. Ніколов, O. B. Зайцева

До даного часу ще не зовсім з'ясовано причини «насичення» кривих накопичення активних радіаційних дефектів (вільних радикалів), що виникають при γ -опроміненні молекулярних кристалів [1]. Існуючі пояснення цього явища в значній мірі мають формальний характер [2]. Відзначена раніше [3 — 4] залежність швидкості відпалу (стійкості) радіаційних дефектів і рів-

ня «сходинки» кривих відпалу [5] від дози опромінення явно вказує на спільність природи процесів накопичення і відпалу. Разом з тим теоретичні описання процесів відпалу теж ще надто формальні [6—7].

Методом ЕПР за раніше описаною методикою [8] були вивчені криві накопичення і відпалу ЕПР-виявлюваних активних радіаційних дефектів, що утворюються в γ -опромінених кристалічних амінокислотах. У даному по-відомленні наводяться лише найбільш цікаві результати в основному для гліцину, L- і DL- α аланіну, DL-валіну, DL-аспарагінової кислоти і DL-гістидину-HCl. Паралельно з цією роботою на монокристалічних зразках для всіх речовин, що вивчалися, було проведено: 1) уточнення інтерпретації структури активних дефектів, що утворюються при опроміненні, 2) інтерпретування змін форми їх спектрів ЕПР, що проходять при відпалі і 3) зіставлення для всіх досліджуваних випадків форм спектрів монокристалічних і полікристалічних зразків. Частково результати цих додаткових досліджень вже опубліковані [8—10].

Одержані криві накопичення приведені на рис. 1, а криві відпалу — на рис. 3 і в [4]. Однією з причин одержаної залежності стійкості активних дефектів від дози опромінення може бути погіршення стабілізуючих властивостей кристалічних граток. Воно може мати місце за рахунок утворення нейтральних ЕПР-невиявлюваних дефектів, що являють собою молекули, чужорідні в даних гратках. Ці молекули, порушуючи регулярність граток і, особливо, регулярність системи водневих зв'язків у ній, можуть справляти вагомий вплив і на її фізичні властивості. Тут може бути два випадки: 1) або нейтральні дефекти утворюються як проміжні дефекти тільки під променем (на що, правда, досить гіпотетично вказується в [11, 12]), а сам процес відпалу приводить тільки до «закривання»

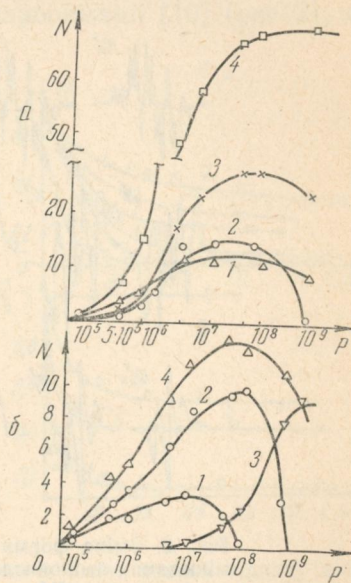


Рис. 1. Криві нагромадження активних радіаційних дефектів у відносних одиницях залежно від дози:
а) для різних амінокислот: 1 — гліцин; 2 — DL-валін; 3 — DL- α -аланін; 4 — DL-гістидин · HCl; б) для різних типів активних дефектів гліцину: 1 — CH_2COO^- ; 2 — $^+\text{NH}_3\text{CH}\bar{\text{C}}\text{OO}^-$; 3 — $\text{NH}_2\text{CHCOO}^-$; 4 — сумарна.

або «перекривання пар» [4], викликаючи відновлення вихідних молекул, 2) або при відпалі також утворюються нейтральні дефекти (такої думки, щоправда, теж досить гіпотетично, додержуються в [6, 7]).

Як видно з одержаних результатів, в залежності від дози опромінення можуть змінюватися: 1) форма спектрів ЕПР ак-

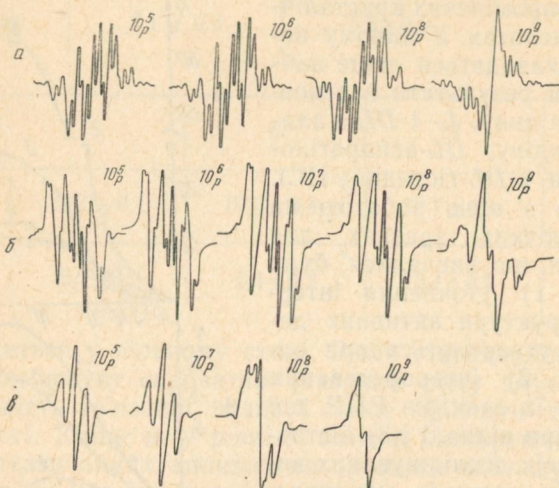


Рис. 2. Зміна форми спектрів ЕПР різних опромінюваних амінокислот в залежності від дози опромінення: а) DL-валин; б) DL-аспарагінова кислота; в) гліцин.

тивних дефектів (рис. 2); 2) крутість і рівень «сходинок» їх кривих відпалу (рис. 3) і 3) характер (аналітичний вираз) кривих відпалу [4]. Нарешті, величина дози опромінення може відчути позначатися на деяких фізичних властивостях кристалів, які при достатньо великих дозах і в основному при відпалі починають мутніти, розтріскуватися, а потім і буріти, даючи при цьому типові синглетні спектри ЕПР «низькотемпературної» карбонізації речовин [10].

З рис. 1 видно, що криві накопичення мають плавний перехід (що при лінійному масштабі сприймається як ділянка «насичення») кривої накопичення від лінійної початкової ділянки до деякого максимуму, а потім (у лінійному масштабі) полого спадають до нуля. Для випадку гліцину знання структури спектру дозволило визначити (за методом, описаним в [8]) відносні концентрації різних типів активних дефектів при різних дозах опромінення (рис. 1, б).

Таким чином, став ясним раніше незрозумілій факт відповідності змін форми спектрів гліцину залежно від дози опромінення і часу відпалу [8]. Аналогічні залежності можуть бути одержані для випадку опроміненого β -аналіну [9]. Інший характер змін форми спектрів має місце у випадку валіну і аспарагінової кислоти. Тут з підвищенням дози над швидкопадаючим за інтенсивністю основним спектром починає переважати типовий спектр «низькотемпературної» карбонізації [10] (рис. 2), показуючи тим самим, що цей процес при достатньо великих дозах опромінення може проходити з помітною інтенсивністю навіть при нормальніх умовах. Подібних змін форми спектрів слід чекати і в опромінених дещо більш високими дозами $DL\text{-}\alpha$ аланину і гліцину [10].

Можливо, що із зростанням кількості нейтральних дефектів імовірність утворення активних дефектів того чи іншого типу змінюється, але скоріше за все, що змінюються при цьому переважно стабілізуючі властивості граток. Крайня концентрація різних типів активних дефектів у даних гратках мало відрізняється (рис. 1, б). Це свідчить про те, що стабілізуючі властивості, в згоді з [5], залежать переважно від параметрів граток. Для різних граток ці основні розміри змінюються, чим і пояснюються, отже, більш високий вихід і стійкість активних дефектів солянокислих амінокислот [1].

Аналогічно більш щільна упаковка L - і D -форм у порівнянні з DL -формами амінокислот може пояснити більш високий вихід і стійкість активних дефектів у цих останніх (наприклад, у $DL\text{-}\alpha$ -аланину і $L\text{-}\alpha$ -аланину). Велику роль, звичайно, відіграє і вид дефекту, що утворюється, зокрема, у відношенні міри порушення граток, особливо регулярності системи її водневих зв'язків. Так, наприклад, цілком логічним здається, що дефект CH_2COO^- -гліцину мусить бути менш стійким, ніж

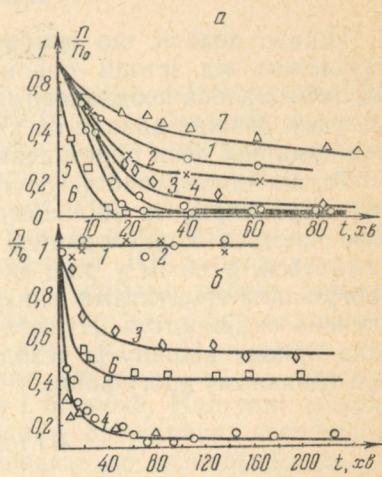
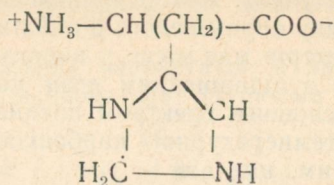


Рис. 3. Зміна кривих відпалу активних радіаційних дефектів у різних амінокислот: а) у $DL\text{-гістидину}\cdot\text{HCl}$ в залежності від дози опромінення: 1 — $10^5 p$; 2 — $5 \cdot 10^5 p$; 3 — $10^6 p$; 4 — $10^7 p$; 5 — $10^8 p$; 6 — $10^9 p$ при температурі відпалу 160°C ; б) — $10^9 p$ при температурі відпалу 130°C ; б) у $DL\text{-валіні}$ в залежності від дози опромінення: 1 — $10^5 p$; 2 — $5 \cdot 10^5 p$; 3 — $10^6 p$; 4 — $10^8 p$; 5 — $10^9 p$; при температурі відпалу 160°C ; 6 — $10^9 p$ при температурі відпалу 130°C .

дефекти $^+NH_3\dot{C}HCOO^-$ -гліцину і $^+NH_3CH[(CH_3)_2\dot{C}H]COO^-$ -валіну і особливо так званий дефект «прилипання» гістидину:



Цікаво додати, що сумарна доза накопичується речовиною незалежно від історії опромінення: зразки, що багаторазово опромінювалися неоднаковими дозами на протязі різних проміжків часу, завжди давали спектри з властивостями, характерними для сумарної дози опромінення.

Таким чином, стабілізуючі властивості граток, окрім їх власних параметрів, із збільшенням дози опромінення все більше визначаються концентрацією нейтральних дефектів, що накопичуються, а потім у ряді випадків, при достатніх дозах і часі прогрівання-продуктами «низькотемпературної» карбонації, що активно виділяються. Ці останні відповідні, очевидно, за різкий спад кривих відпалау із «сходинки», що часто спостерігається при тривалому прогріванні.

ЛІТЕРАТУРА

1. S. Prydz, T. Henniksen. Acta. Chem. Scand., 1961, 15, 791.
2. Б. В. Макшанцев. «Химия высоких энергий», 1969, № 4, 349.
3. И. Н. Комарь, О. Т. Николов, С. С. Ангелов. «Тезисы докладов I Всесоюзной конференции молодых ученых по радиобиологии». Пущино, 1969.
4. И. М. Комарь, С. С. Ангелов, О. Т. Николов. Зб. «Радіоспектроскопія молекулярних кристалів і клітин». Вид-во ХДУ, Харків, 1972.
5. А. И. Михайлов, Я. С. Лебедев, Н. Я. Бубен. «Кинетика и катализ», 1965, 6, 48.
6. Я. С. Лебедев. Кинетика и катализ. 1967, 8, 245.
7. А. А. Белый, А. С. Овчинников. Химия высоких энергий, 1967, 3, 346.
8. И. Н. Комарь, О. Т. Николов, И. Майер. ТЭХ, 1970, 6, 561.
9. С. В. Ландарь, О. Т. Николов, И. М. Комарь. Зб. «Радіоспектроскопія молекулярних кристалів і клітин». Вид-во ХДУ, Харків, 1972.
10. И. М. Комарь, О. Т. Николов, С. С. Ангелов. Зб. «Радіоспектроскопія молекулярних кристалів і клітин». Вид-во ХДУ, Харків, 1972.
11. J. W. Sinclair, M. W. Hanna. J. Phys. Chem., 1967, 71, 84.
12. Ю. А. Кругляк, М. К. Пулатова, Е. В. Моздор, Е. Н. Судьбина, В. Г. Пасоян, Л. П. Каюшин. «Біофізика», 1968, 13, 401.

ІОНОСФЕРНІ ВИМІРЮВАННЯ МЕТОДОМ НЕКОГЕРЕНТ- НОГО РОЗСІЮВАННЯ В КОМПЛЕКСНИХ РАДІОФІЗИЧНИХ ДОСЛІДЖЕННЯХ ІОНОСФЕРИ

В. О. Місюра, Ю. Г. Єрохін, Г. Н. Ткачов, М. Г. Трухан,
В. І. Новожилов, В. Я. Блудов, В. І. Іванов, Н. І. Нісневич,
Н. М. Бородін, Н. В. Мошняков, В. М. Лазаренко,
О. Г. Тижненко

Частина перша

У комплексних і автономних іоносферних дослідженнях [1, 2, 3], проведених протягом 1965—1970 рр. на середніх широтах Радянського Союзу різними радіофізичними методами, важливе місце займає метод некогерентного розсіювання (НР) радіохвиль. Вимірювання методом НР постійно удосконалювалися, їх точність зростала. Використовувалися різні методики вимірювання і обробки та декілька установок НР з неоднаковими просторовим і часовим розв'язком і режимами роботи (зондування одним чи декількома променями похило і вертикально із рознесенням і скануванням та без них) [2, 3, 4]. Зокрема, від бінарного перейшли до амплітудного накопичення за допомогою ЕЦОМ, на яких здійснювалася і обробка. Наступні дослідження також показали, що методика одержання потужності шумів, запропонована в [3], призводить до значної загальної остаточної похибки у вимірюваннях. Тому було розроблено методи, коли інформація про потужність шумів P_s і розсіяного сигналу $P_{\text{ш}}$ береться з одного приймального каналу ($P_{\text{ш}}$ відбирається з фіксованої за висотою ділянки, що міститься нижче межі іоносфери). Інформація про P_s одержується одночасним стробуванням декількох ділянок z . Зокрема, для вимірювання тонкої структури нижньої іоносфери (установка з D_1 в [3]) стробуванню піддавалася ділянка висот від кількох десятків до кількох сотень кілометрів. Дискретність проходження цієї ділянки могла змінюватися в широких межах. Крім основної програми роботи, за якою одночасно визначалася електронна концентрація N , температура електронів T_e , іонів T_i та іонний вміст за вимірами потужності та спектрами розсіюваного випромінювання градууванням за даними вертикального зондування (ВЗ) іоносферними станціями, застосувалися також інші підпрограми. Наприклад, при вимірюванні методом НР тільки N і наявності окремо проведеного градуування установки НР вимірювання N за ВЗ чи за ефектом Фарадея (ЕФ) дозволяли визначати в деякому інтервалі відношення $\tau = \frac{T_e}{T_i}$ і вносити по-правку на нього в профілі N , одержані за НР. Зокрема, навіть

при відсутності градуювання установки НР, але наявності ВЗ в області F і E одночасно вдавалося встановити τ до висоти $z_M F_2$ (вважаючи $\tau=1$ на висоті $z_M E$) і т. д. (див., наприклад, [4]).

До даного часу похибка вимірювання методом НР звичайно перебуває в межах кількох процентів в інтервалі порядку 150–700 км, але може бути $\geq 10\%$ поза цим інтервалом; похибка вимірювання T_e , T_i та іонного вмісту (особливо, коли $T_e > T_i$)

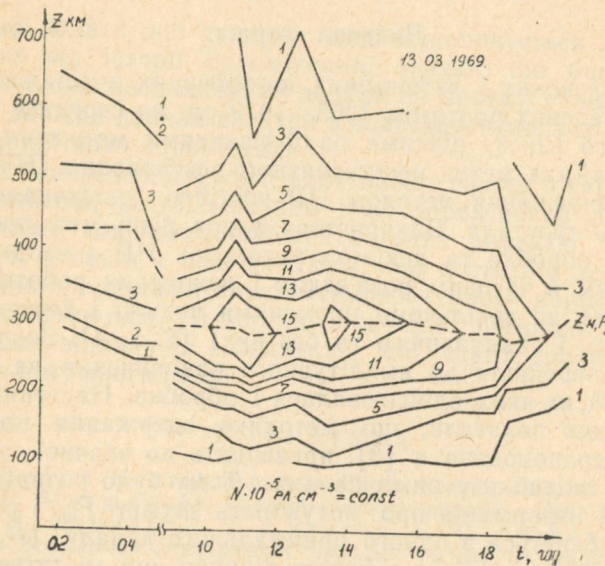


Рис. 1.

значно) може досягти десятків процентів. Верхні граници похибки вимірювання N методом НР (установка з D_3 в [3]) оцінювалися також експериментально, шляхом зіставлення одночасно вимірювань, здобутих методом ВЗ, вимірювань диференціального ефекту Допплера і ЕФ сигналів [2, 3]. Сукупно методом НР вдається одержати з достатньою точністю систематично (протягом не менше кількох діб за сезон) регулярні профілі N в інтервалі ~ 60 – 1000 км, температур та іонного вмісту — в інтервалі ~ 150 – 700 км [2, 3], а також несистематично визначати нестационарність і горизонтальні градієнти регулярних параметрів іоносфери, параметри великих випадкових неоднорідностей (в тому числі E_s — шару) та їх руху [2] і т. д.

Систематично одержувані висотно-часові залежності N , T_e , T_i дозволяють аналізувати фізичні процеси в іоносфері та її динаміку. Припустима точність цих залежностей дозволяє після

певного згладжування встановити «нестационарність» цих параметрів і, зокрема, обчислювати «константи» мікропроцесів і балансу іонізації.

У цій роботі ми обмежимося тільки ілюструванням висотно-часових залежностей N , можливості їх аналізу і розрахунку параметрів балансу іонізації (про температуру та неоднорідності див. [5, 6]).

1. На рис. 1 наведено характерний приклад висотно-часових залежностей електронної концентрації N при високій сонячній

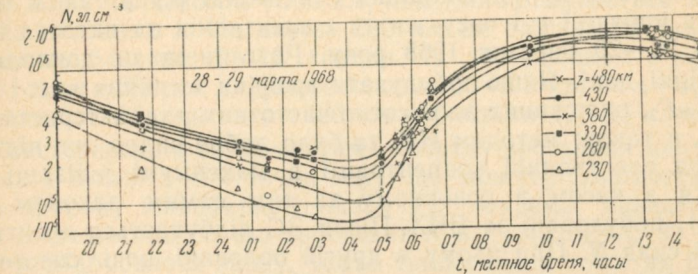


Рис. 2.

активності СА (рівні $N \cdot 10^{-5} = \text{const}$ залежно від місцевого часу 13 березня 1969 р. та для інших сезонів і років) (див. також рис. 3 в [3] і рис. 6 в [4]). На цих рисунках охоплено висоти (менші границь вимірювання, що наводяться для нижньої межі $z \geq 60$ км в [2, 6]), для яких ще достатньою є точність вимірювань.

На рис. 1, 2 добре простежуються відомі звичайні добові, сезонні й циклові зміни N всієї товщі іоносфери, в тому числі швидке формування іоносфери після сходу Сонця (СС), відносна незмінність протягом дня, мінімальні значення N перед СС тощо. Але спостерігається і ряд особливостей в поведінці N . Так, подекуди виявляється збільшення N , особливо помітне влітку близько максимуму $z_M F_2$ за рахунок руху плазми вниз, що звичайно корелює з швидким зменшенням T_e . Значна зміна висоти максимуму $z_M F_2$ звичайно корелює з вертикальним рухом товщі іоносфери. Вона простежується не тільки в переходні періоди між днем і ніччю, але і в більш чистому вигляді посеред ночі й дня. Після опівночі в області F_2 часом спостерігається збільшення N , що вказує на існування нічної іонізації. В часи СС подекуди спостерігається короткочасне зростання N . Добовий хід $z_M F_2$ несиметричний. Типове запізнення зростання N у верхній частині F відносно СС підвищується із збільшенням z і свідчить про наявність при створенні F_2 дифузії електронів з нижчих висот. Мінімальне досвітне значення N у наших ви-

мірюваннях перебільшує відповідне значення на низьких широтах (Джікамарка, [7]). Розбіжність окремих вимірювань (як і інших параметрів) того ж часу протягом кількох найближчих діб може досягати десятків процентів, що пов'язано очевидно, з фактичним варіюванням цих величин.

2. Застосовуючи кілька згладжених залежностей $N(t)$ на фіксованих z (одержуваних із залежностей типу на рис. 1), можна з деякими припущеннями розрахувати характеристики балансу іонізації. Так, шляхом використання ВВЗ N одержано $N(t)$ при $z = \text{const}$, а за ними розраховано ефективні коефіцієнти рекомбінації α_e і прилипання електронів β_e , а також інтенсивність іонізації q і часу життя τ електронів на висотах 230–480 км 28–29 березня 1968 року. Розглянемо це докладніше.

Вихідні дані. Якщо побудувати графіки істинних висот і значень $N_M F_2$, одержаних за висотно-частотними характеристиками (ВЧХ), а також методом НР, то буде добре видно, що відносні значення електронної концентрації в максимумі іонізації змінюються з часом в основному за тим самим законом, як $N_M F_2(t)$, побудовані за ВЧХ. Після ЗС відбувається досить повільний спад N . При цьому в другій половині ночі спостерігається деяке аномальне зростання N , що характерно для F_2 [9–11] і вказує на існування нічної іонізації атмосфери, питання про походження якої тепер дискутується [12–14]. Потім знову спостерігається зменшення N , що досягає мінімуму десь хвилин за 15 до СС на Землі. При СС на Землі спостерігається нетривале зростання відносної концентрації в максимумі F_2 . Але стійке зростання N в максимумі F_2 (досить поступове) починається пізніше приблизно через 2 години після СС на висоті $z_M F_2$.

З аналізу кривих $z_M F_2(t)$ видно, що висота знаходження $N_M F_2$ після ЗС зростає; зменшення її починається незадовго перед СС. Це зменшення z_M спостерігається і після СС протягом 3 годин. Потім вона знову зростає, досягаючи найбільшої величини приблизно через 2 години після полуночі. Але цей денній максимум значно менший за нічний. Таким чином, крива $z_M(t)$ так само, як і крива $N_M(t)$, має дещо несиметричний добовий хід.

На рис. 2 показано зміну N по t , визначену методом НР (переведення в абсолютні значення здійснено за даними АІС) на кількох висотах, в тому числі вище $z_M F_2$ *. Хоч залежності $N(t)$ знайдено за порівняно малим числом точок, характер зміни N на протязі доби виявляється досить чітко. Не зу-

* Експериментально здобуті точки (рис. 2) з'єднані плавними кривими з тією метою, щоб стало можливим використання рівняння неперервності (4) або (5) для розрахунку коефіцієнтів рекомбінації. Природно, що таким шляхом будуть одержані деякі згладжені значення цих коефіцієнтів.

пиняючись докладно на аналізі добового ходу $N(t)$ на різних z , відзначимо тільки деякі найбільш типові особливості, що випливають з цього аналізу, а саме: 1) електронна концентрація вище за $z_M F_2$ спадає порівняно повільно. Так, на висоті 430 км вночі вона становить приблизно 0,9 від значення в максимумі (24,00 $z_M \approx 385$ км), приблизно 0,8 — вранці (6,00 $z_M \approx 335$ км) та опівдні (12,00 $z_M \approx 320$ км). На висоті $z \approx 500$ км протягом доби N все ще дорівнює 0,6—0,7 від N_M ; 2) криві $N(t)$ на різних z мають приблизно одинаковий добовий хід, подібний часовому ходові $N_M F_2$; 3) початки ранкового зростання N на фіксованих z , за винятком $z = 230$ км, помітно запізнюються відносно СС на вказаних z . На висоті 280 км це запізнення незначне і становить близько 10—15 хвилин. Із збільшенням z воно зростає і на $z = 330$ км дорівнює близько 20—25 хв, на $z = 380$ км — близько 25—30 хв і на $z = 480$ км — близько 40—45 хвилин.

Спостереження за моментами початку зростання іонізації на різних z цікаві з тієї точки зору, що можуть допомогти визнати природу іоносферного шару F_2 . Зокрема, наведені вище дані свідчать про те, що зростання N в F_2 після СС 29 березня 1968 р. відбувалося знизу, тобто тільки після того, як була освітлена основа шару. Дійсно, на висоті 230 км початок зростання N збігається з моментом СС на цій висоті, на інших z запізнення початку зростання N збільшується із зростанням z .

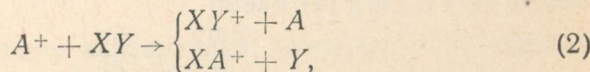
Отже, наші результати підтверджують відоме припущення [9, 10, 16] про те, що у створенні максимуму $N_M F_2$ значну роль відіграє дифузія електронів з нижчих шарів.

Ефективний коефіцієнт рекомбінації електронів

Відомо [10, 16], що головним процесом нейтралізації заряджених частинок у верхній атмосфері є дисоціативна рекомбінація молекулярних іонів з електронами:



Кількість молекулярних іонів в іонізованій атмосфері регулюється іонно-молекулярними реакціями



де A , X і Y — атоми; A^+ — атомарний іон; XY — молекули; XY^+ і $X A^+$ — молекулярні іони. Ефективний коефіцієнт рекомбінації цих процесів записується так [17]:

$$\alpha_e = \alpha_d \frac{[XY^+]}{N}. \quad (3)$$

Тут α_d — коефіцієнт дисоціативної рекомбінації молекулярних іонів; $[XY^+]$ — сумарна концентрація молекулярних іонів на даній висоті.

Рекомбінаційне рівняння балансу іонізації в атмосфері (без урахування дифузії і переносу) записуємо відомим способом [10] для $z < 200 \text{ км}$:

$$\frac{\partial N}{\partial t} = q - \alpha_e N^2, \quad (4)$$

і для $z \geq 200 \text{ км}$, коли зникнення електронів відбувається в результаті «прилипання» їх до нейтральних частинок:

$$\frac{\partial N}{\partial t} = q - \beta_e N, \quad (5)$$

де q — інтенсивність іонізації. У (5) швидкість зникнення вільних електронів визначається іонно-молекулярними реакціями (2), які відбуваються повільніше, ніж дисоціативна рекомбінація (1).

У [10] пропонується емпірична формула

$$\beta_e = \beta_0 \exp\left(\frac{300 - z \text{ км}}{H}\right), \quad (6)$$

що описує висотний хід для еквівалентного коефіцієнта «прилипання» β_e вночі. У рівнянні (6) H — приведена висота однорідної атмосфери $\approx 50 \text{ км}$, $\beta_0 = 10^{-4} \text{ сек}^{-1}$. У [21] за $N(t)$ -профілями одержано значення для широти Москви: $H = 56 \text{ км}$ і $\beta_0 = 1,59 \cdot 10^{-4}$ — для спокійного стану іоносфери (листопад 1957 — січень 1958 року), $H = 50 \text{ км}$ і $\beta_0 = 2,27 \cdot 10^{-4} \text{ сек}^{-1}$ — для помірно збуреної іоносфери (листопад 1958 р.).

Щоб переконатися, який саме тип рівняння балансу іонізації має місце насправді, треба за допомогою виразів (4) і (5) обробити експериментально одержані криві $N(t)$ і знайти коефіцієнти α_e і β_e . Потім, підставляючи одержані α_e і β_e в (4) і (5), можна з'ясувати, яке з них більше відповідає іншим експериментальним даним. Для порівняння малих проміжків часу припускаємо $\alpha_e = \text{const}$, $\beta_e = \text{const}$ і $q = \text{const}$. Тоді для двох моментів часу t_1 і t_2 з (4) маємо

$$\alpha_e = \frac{\frac{\partial N}{\partial t} \Big|_{t_1} - \frac{\partial N}{\partial t} \Big|_{t_2}}{N^2(t_2) - N^2(t_1)}. \quad (7)$$

Аналогічно з виразу (5) маємо для коефіцієнта прилипання

$$\beta_e = \frac{\frac{\partial N}{\partial t} \Big|_{t_1} - \frac{\partial N}{\partial t} \Big|_{t_2}}{N(t_2) - N(t_1)}. \quad (8)$$

Обробивши за допомогою формул (7) та (8) всі криві $N(t)$ (рис. 2), добудемо залежності $\alpha_e(t)$ і $\beta_e(t)$ для досліджуваних висот. Після цього можна побудувати висотний хід α_e і β_e для різного часу доби.

Слід відзначити, що процес нейтралізації заряджених частинок задовільно описується рівняннями (4) або (5) тільки в тому випадку, коли можна знехтувати часовими змінами кількості молекулярних іонів. Як показано в [20], рівняння (4) може мати місце лише за умови $[XY^+] = \text{const}$, а (5) за $\frac{[XY^+]}{N} = \text{const}$. Для опису часових змін N в реальній атмосфері це, ні друге рівняння не

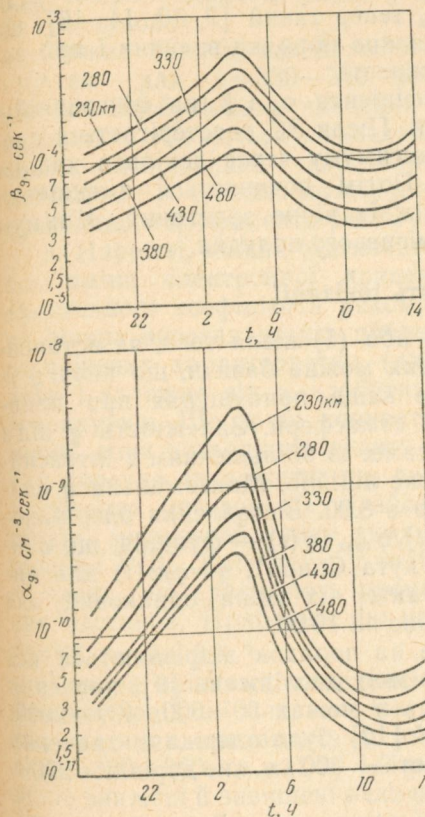


Рис. 3.

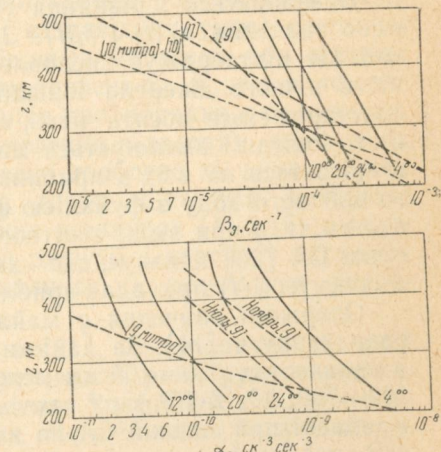


Рис. 4.

придатні. Але в нашому випадку при $\Delta t = t_2 - t_1$ — не більше 15 хв, величини $[XY^+]$ або $\frac{[XY^+]}{N}$ змінюються несуттєво.

Результати, одержані описаним вище способом, ілюструються рис. 3, 4, де пунктиром показано α_e і β_e з інших досліджень. З рис. 4 видно, що α_e і β_e здобуті різними методами істотно відрізняються між собою і так само від значень α_e і β_e , знайдених методом НР. При цьому, як видно з рис. 4, β_e змінюєть-

ся з висотою у всіх випадках згідно з експоненціальним законом (6), хоч і з різними значеннями параметрів H і β_0 . Слід однак, мати на увазі, що дані різних авторів відповідають різним умовам експериментів. Оскільки ж коефіцієнти α_e і β_e залежать від складу і температури і значно змінюються з висотою, часом доби і року, з географічними координатами і СА, то вказана різниця в їх значенні не є несподіваною. Взагалі стаж досліджень коефіцієнтів α_e і β_e тепер такий [9, 10, 14, 16], що достовірно можна судити тільки про порядки величин і про загальний характер висотної залежності.

З рис. 3, 4 видно, що коефіцієнти α_e і β_e на фіксованій z протягом доби різко змінюються. Після ЗС спостерігається зростання величин, що досягає максимуму через декілька хвилин після ЗС на розглядуваних z . Потім починається зменшення α_e і β_e , причому більш різке, ніж їх нічне зростання. Мінімум α_e і β_e спостерігається близько місцевого полуудня.

Інтенсивність іонізації

Визначається з рівняння (4) або (5) після того, як встановлено значення $\alpha_e(t)$ і $\beta_e(t)$. З них можна бачити, що вночі $q \neq 0$. Це підтверджує висловлене вище припущення про наявність нічного джерела іонізації атмосфери. Залежність q від z спостерігається досить чітко, а саме: із збільшенням z інтенсивність іонізації зменшується майже лінійно. Максимальна q спостерігається на всіх z приблизно о 8.00. Зіставлення одержаного добового ходу з функцією $\varphi(t)/\varphi_{\max}(\varphi(t))$ — функція, що описує зміни q при зміні зенітного кута Сонця), $q = q_0 \varphi(t)$ для високої СА [20] показує, що характер їх зміни одинаковий, але максимум $\varphi(t)$ припадає приблизно на 10.00.

Одержані значення q майже на порядок відрізняються від розрахунку в [14]. За даними різних досліджень [9], значення q на висотах 300—400 км лежать у межах 50—800; 400—2000; 100—800; 40; $2 \cdot 10^3 \text{ см}^{-3} \text{ сек}^{-1}$. У [12] було одержано значення q опівдні при високій СА на висоті $\sim 300 \text{ км}$, яке дорівнює 290—460 $\text{см}^{-3} \text{ сек}^{-1}$.

Дані [7, 9] близькі до наших результатів. Взагалі слід підкреслити, що результати різних досліджень і розрахунків не завжди узгоджуються. Наприклад, у [20] максимальне значення q на висоті 300 км у період високої СА становить $40 + 500 \text{ см}^{-3} \text{ сек}^{-1}$, а в [14] — $10^{3.5} \text{ см}^{-3} \text{ сек}^{-1}$. Мабуть, тільки накопичення достатньої кількості даних, одержаних різними методами (за однакових умов) дозволить зробити правильний висновок про величину та висотну залежність q .

Час життя електронів τ визначається відомим способом:

$$\tau = \frac{1}{2\alpha_e N}, \text{ або } \tau = \frac{1}{\beta}. \quad (9)$$

З аналізу видно, що характер зміни τ на всіх z приблизно однаковий. Зменшення τ , яке починається вночі, триває приблизно до полуночі. Із збільшенням z час τ зростає. За розрахунками [22] середнє τ для F_2 дорівнює $5 \cdot 10^3 - 5 \cdot 10^4$ сек, а це збігається з нашими даними. Згідно з [10] τ приблизно дорівнює часовому інтервалові Δt між максимальними значеннями q_{\max} і N для заданої z (якщо q протягом дня змінюється повільно і поступово).

Можна бачити, що $\Delta t \approx 10^4$ сек для $z = 230 - 280$ км; $1,3 \cdot 10^4$ сек — для $z = 330 - 380$ км і $1,5 \cdot 10^4$ сек — для $z = 430 - 480$ км. Здобуті нами значення τ на досліджуваних z опівдні задовільно збігаються з наведеними вище значеннями Δt . Таким чином, вимірювання часу запізнення максимуму q відносно максимуму N опівдні можна використати для оцінки величини ефективного коефіцієнта рекомбінації електронів.

3. Нарешті, можна відзначити, що одержані методом НР добові зміни електронної концентрації, інтенсивності іонізації, ефективного коефіцієнта рекомбінації і часу життя електронів на різних висотах досить добре збігаються з харacterом зміни перелічених характеристик (для відповідних умов) протягом доби і залежно від z , здобутих іншими методами або шляхом розрахунків. Що ж до конкретних значень α_e , β_e , q і τ , то, напевно, вони дозволяють судити лише про порядки цих величин. Тут доречно зауважити, що переведення відносних значень N , одержаних методом НР, в абсолютні зроблено за даними іонозондів, місцеперебування яких не точно збігається з точкою стояння РЛС. Крім того, у вихідних рівняннях (4) і (5) відсутні члени, що враховують процеси дифузії і переносу заряджених частинок. Природно, що це впливає на результати розрахунку α_e , β_e , q і τ .

Так, за оцінками, виведеними в [21], нехтування в рівнянні балансу іонізації членами, що враховують різні рухи заряджених частинок, призводить до зниження коефіцієнтів β_e у межах висот $320 - 360$ км в $1,6 - 1,9$ раза. На стільки ж будуть відповідно знижені й завищені величини q і τ .

Частина друга

Для повноти і однозначності тлумачення фізичних процесів в іоносфері і екзосфері важливо, крім висотно-часових залежностей (ВЧЗ) електронної концентрації N , мати ще і ВЧЗ температури електронів T_e , іонів T_i та іонного вмісту. Поки єдиним методом, що дозволяє систематично одержувати ВЧЗ N , T_e , T_i та іонного вмісту, є метод некогерентного розсіювання (НР). У даному разі наводиться ілюстрації сучасних вимірювань ВЧЗ T_e , T_i і їх аналіз для високої сонячної активності (СА) (1966—1969 р.) на середніх широтах Радянського Со-

юзу методом НР як складової частини комплексних іоносферних досліджень радіофізичними методами. При одержанні ВЧЗ T_e , T_i використовано попередню [3, 4, 5] методику обробки результатів вимірювань; оцінку точності вимірювань здійснено нами вище. ВЧЗ для N показано раніше [2, 3]. На рис. 5, 6 наведено приклади одержаних нами для весняного рівнодення

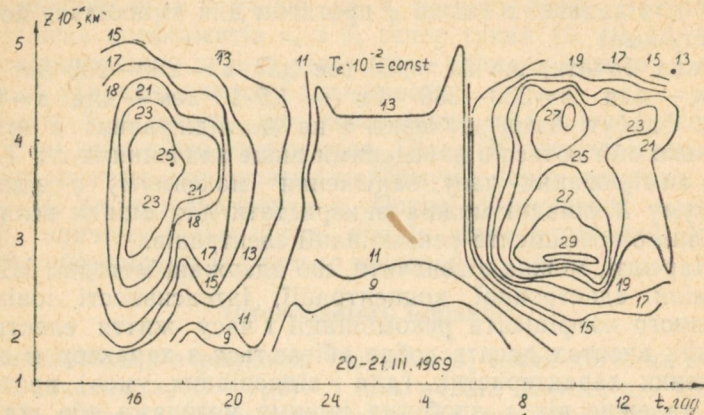


Рис. 5.

(20—21 березня 1969 р.) ВЧЗ для T_e , T_i , а на рис. 7 — вертикальні профілі T_e , T_i та їх відношення $\tau = T_e, T_i$ для різних фіксованих моментів часу t , віднесених до середини сеансу вимірювань одного профілю, тривалість якого лежить в межах десятка хвилин, а звичайно менше. Приклади профілів T_e , T_i і τ , одержаних нами для другого сезону і СА, наведено в [4, 5]. Позначення на рисунках попередні [1—5] (час t скрізь місцевий у годинах і хвилинах; z — висота; рівні $T_e = 10^{-2} \text{ K} = \text{const}$; $T_i = 10^{-2} \text{ K} = \text{const}$).

Покажемо основні результати аналізу одержаних нами методом НР даних про температуру заряджених частинок іоносфери.

1. Для висотного ходу T_e (рис. 5, 7) характерний максимум, найяскравіше виражений протягом дня. Звичайно, вранці після сходу Сонця (СС) він найбільший, може досягати $\leq 3000^\circ \text{K}$

і лежить дещо нижче висоти максимуму іонізації $z_M F_2$; максимальні вертикальні градієнти $T_e \left(\frac{dT_e}{dz} \right)$ можуть вранці і вдень становити $\left(\frac{dT_e}{dz} \right) \leq 200^\circ \text{K km}^{-1}$, зменшення T_e з висотою z після

своого максимуму до значення, приблизно рівного T_i , закінчується звичайно протягом дня за винятком хіба годин близько

СС (на висотах 500—600 км більших, ніж на екваторі [7, 23]). У період розвитку максимуму T_e часто з'являється, очевидно, при досить високій СА, другий максимум на висотах звичайно $> z_M F_2$. Протягом певного проміжку часу (\gtrsim одної години) можливий перехід від розподілу T_e з одним до розподілу з двома максимумами (рис. 8 у [2, 3]). Таку поведінку T_e фізично

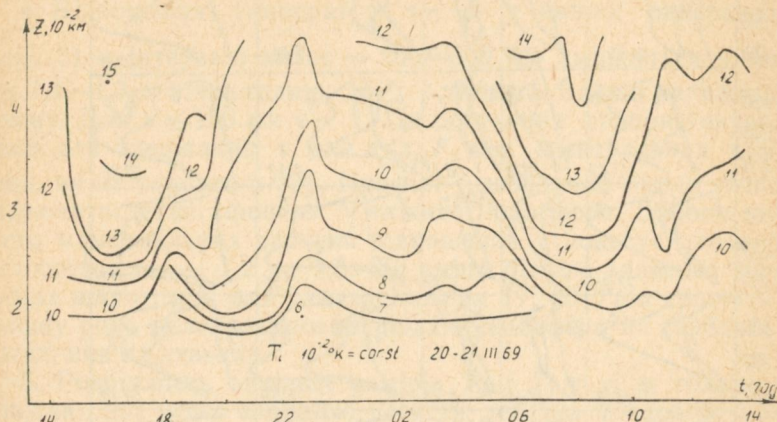


Рис. 6.

можна пояснити особливостями теплового балансу в області F_2 при високій СА [24].

2. У добовому ході T_e в області F_2 характерне для рівнодення зростання T_e , що виникає одразу після СС в магнітноспряженій точці; восени і взимку помітно незназне передранкове підвищення T_e , зумовлене, мабуть, переносом уздовж ліній геомагнітного поля нагрітих фотоелектронів з магнітоспряженої області (де СС настає раніше, ніж у точці спостереження). Якщо побудувати на фіксованих z (з використанням рис. 5) погодинну залежність T_e , то можна побачити, що досить гострий абсолютний максимум T_e — 3000°K припадає на час відразу після СС (з 8—10 години), потім у середньому T_e зменшується мало (або зовсім не зменшується) протягом дня і більш різко спадає перед ЗС. Проте, спад T_e перед ЗС звичайно дещо повільніший, ніж збільшення при СС, тобто простежується деяка асиметрія в добовому ході. Слід відзначити, що взимку і восени інколи в добовому ході T_e виникає менший другий максимум (чи плато), зсунутий проти рівноденного ближче до СС, що мабуть, також пов'язано з більш раннім у цьому сезоні освітленням магнітоспряженої точки Сонцем. Мінімальне значення $T_{e \max} \leq 1300$ має місце вночі, для інших $z = \text{const}$ цей спад

виражений не завжди так різко, особливо взимку. Нестаціональність T_e найбільша близько СС ($\frac{\partial T_e}{\partial t} \leq 0,1^\circ \text{ сек}^{-1}$).

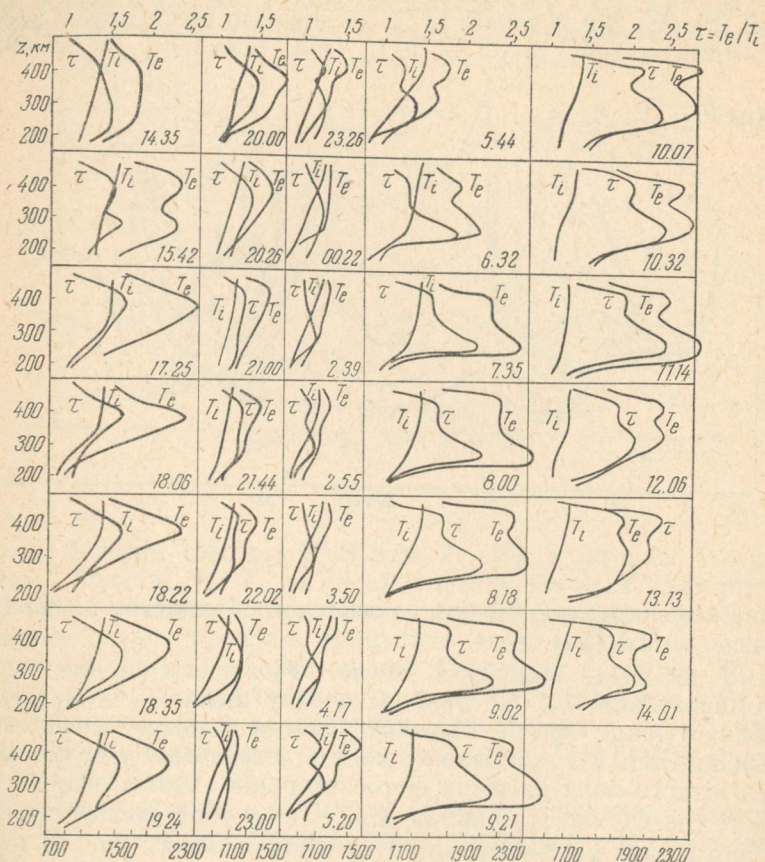


Рис. 7.

3. Для висотного ходу T_i (рис. 6, 7) протягом цілої доби характерне в середньому монотонне зростання T_i з висотою. Інколи в інтервалі 250—350 км T_i майже не змінюється. Так, для березня 1969 р. (рис. 7) в інтервалі висот 200—500 км T_i змінювалася від $-700+800^\circ\text{K}$ до $-1100+1200^\circ\text{K}$ (вночі) або до $-1400-1500^\circ\text{K}$ (вдень). Максимальний вертикальний градієнт T_i ($\frac{d T_i}{d z} \leq 3^\circ\text{K km}^{-1}$) буде, як і у T_e , близько СС. Сезонні

ї залежні від СА зміни T_i незначні і відхилення від наведених вище значень на висоті 500 км лежать в межах десятка процентів. Якщо побудувати добову залежність T_i за $z=\text{const}$, то легко побачити, що максимум і мінімум T_i збігаються з T_e , але виражені слабше; нестационарність $\left| \frac{\partial T_i}{\partial t} \right| \leq 0,1^\circ\text{K сек}^{-1}$.

4. Відношення температур $\tau = \frac{T_e}{T_i}$ у наших вимірюваннях (рис. 3) в інтервалі висот $\sim 200-500$ км змінюється в межах від 1,1—1,3 в нічні години до ≤ 3 (вдень) і дещо залежить від сезону. Для $z \leq 150$ км $\tau \rightarrow 1$. Ця обставина використовувалася нами для одержання τ для $z \leq z_M F_2$ без спектральних вимірювань, як це описано в [5]. Профілі τ дозволяли більш точно обчислювати деталі профіля N нижньої іоносфери. Добова залежність максимальних значень відношення τ показує, що вночі τ змінюється від $\sim 1,2$ до 1,5. Ця зміна більше властива для середніх широт, ніж для екваторіальних [7, 23], що свідчить про більшу роль нелокального нагрівання іоносфери на середніх широтах, ніж на низьких.

5. Розбіжність окремих вимірів T_e і T_i у ті ж години найближчих діб може звичайно досягти десятка процентів, що пов'язано, мабуть, з фактичним варіюванням цих величин. Наприклад, вдень 20—21 березня 1969 р. значення τ_{\max} помітно різні, хоч умови магнітного збурення були в ці дні практично одинакові.

ЛІТЕРАТУРА

1. В. А. Мисюра. «Геомагнетизм и аэрономия», 1969, 9, 3, 453.
2. В. А. Мисюра и др. В сб. «IX Всесоюзная конференция по распространению радиоволн», ч. II, стор. 61, 65; ч. I, стор. 84, Изд. АН СССР и АН УССР, Харьков, 1969.
3. В. А. Мисюра, Г. Н. Ткачев, Ю. Г. Ерохин, В. И. Новожилов, В. Я. Блудов, Н. И. Нисневич, Н. В. Мошняков. «Космические исследования», 1968, 6, 5, 726.
4. В. А. Мисюра, Г. Н. Ткачев, В. Я. Блудов, Ю. Г. Ерохин. В сб. «Ионосферные исследования», 1969, № 18, 136—163; 1972, № 20, 21.
5. В. А. Мисюра, Г. Н. Ткачев, Ю. Г. Ерохин, В. И. Иванов, Н. И. Нисневич, Н. М. Бородин. «Геомагнетизм и аэрономия», 1969, 9, 1, 75; 1967, 7, 2, 535.
6. В. А. Мисюра, В. И. Новожилов, Ю. Г. Ерохин, М. Г. Трухан, А. Ф. Белый, Г. Н. Ткачев, В. Я. Блудов. Измерение неоднородностей структуры и случайных неоднородностей ионосферы методом некогерентного рассеяния. «Изв. вузов, Радиофизика», 1972.
7. Д. Т. Фарли. Распределение электронов в верхней атмосфере. «Мир», 1964, 346.
8. В. А. Мисюра, Г. Н. Ткачев, Ю. Г. Ерохин, В. И. Новожилов, Н. И. Нисневич, Н. М. Бородин. «Геомагнетизм и аэрономия», 1969, 9, 1, 75; 1967, 7, 2, 535.

9. Я. Л. Альперт. Распространение радиоволн и ионосфера. Изд. АН СССР, 1960.
10. Дж. А. Ратклиф, К. Уилкс. Физика верхней атмосферы. Перевод с англ. М., 1963.
11. Х. Ришбет. Зависящая от времени модель слоя F_2 ионосферы. В сб. «Диффузия в слое F_2 ». Перевод с англ. «Мир», М., 1963.
12. С. К. Митра. Верхняя атмосфера. Перевод с англ. Изд-во иностр. лит-ры, М., 1955.
13. Л. А. Антонова, Г. С. Иванов-Холодный. «Геомагнетизм и аэрономия», 1961, 1, 1, 164.
14. Г. С. Иванов-Холодный. «Геомагнетизм и аэрономия», 1966, 6, 2, 382.
15. А. Обер и Ф. Лале. Ионизация слоя F_2 при восходе Солнца. В сб. «Электронная концентрация в ионосфере и экзосфере». Перевод с англ. «Мир», М., 1966.
16. А. Д. Данилов и Г. С. Иванов-Холодный. УФН, 1965, 85, 2, 260.
17. А. Д. Данилов. В сб. «Искусственные спутники Земли», вип. 15. Изд. АН СССР, 1963.
18. Дж. Хастед. Физика атомных столкновений. Перевод с англ. «Мир», М., 1965.
19. Г. Нестеров. «Геомагнетизм и аэрономия». 1965, 5, 5, 835.
20. В. М. Поляков, Т. Б. Щукина. «Геомагнетизм и аэрономия», 1966, 6, 5, 858.
21. М. Н. Фаткуллин, А. Д. Легенька. «Геомагнетизм и аэрономия», 1968, 8, 3, 432.
22. В. Л. Гинзбург. Распространение электромагнитных волн в плазме. «Наука», М., 1967.
23. D. T. Fagley, K. L. Bowles. NBS Report, 1964, 8489.
24. Дж. В. Эванс. УФН, 1967, 92, 2, 229.

ВИМІРЮВАННЯ ПАРАМЕТРІВ ІОНОСФЕРИ ТА ЕКЗОСФЕРИ ЗА ДОПОМОГОЮ «ВЕРТИКАЛЬНОГО ЗОНДА»

*В. О. Місюра, Г. М. Зінченко, В. А. Поднос, І. І. Капанін,
В. Д. Стасенко, В. М. Мокрій, Ю. Г. Єрохін*

В іоносферних і екзосферних вимірюваннях, виконаних в жовтні 1967 р. в декількох пунктах на середніх широтах Радянського Союзу [1], проводилася реєстрація ефекту Фарадея (ЕФ) і різницевого ефекту Доплера (ЕД) сигналів на когерентних частотах 48 і 144 мгц, як частина комплексних досліджень іоносфери та екзосфери різними радіофізичними методами [1, 2]. У [1] показано збіжність результатів, одержаних за допомогою ЕФ і ЕД.

Оскільки, крім цього, по ЕФ здійснювалася безперервна реєстрація за весь час руху випромінювача В вгору (~ 4500 км) і вниз, то ми тут використовуємо тільки реєстрації ЕФ.

У результаті первинної обробки реєстрації ЕФ одержано залежності кута, створеного поворотом площини поляризації Φ_ϕ , і частоти фарадейських загасань $F_\phi = \frac{1}{2\pi} \frac{d\Phi_\phi}{dt}$ від висоти В над поверхнею Землі для двох пунктів спостережень ХДУ (див. пункти 6 і 7 на рис. 1 в [1]). Завдяки одержаній реєстрації за весь час руху В вгору і вниз виявилося можливим:

1) досить точно визначити момент зміни напрямку обертання площини поляризації, що значною мірою полегшило інтерпретацію здобутих результатів; 2) встановити профілі нестационарності інтегрального електронного змісту у вертикальному (N_0) стовпі між пунктами спостереження і В.

Результати експерименту оброблялися за допомогою різних методик з урахуванням горизонтальних градієнтів і нестационарності параметрів іоносфери і екзосфери. Останнє обумовлене тим, що експеримент проводився на протязі приблизно однієї

годині в період заходу Сонця при досить великому рознесенні пунктів спостереження, а також при не строго вертикальній траекторії В (див. докладніше про це в [1]).

Вторинна обробка результатів експерименту з одержанням профілів електронного змісту в похилому і вертикальному стовпах іоносфери і екзосфери від пункту спостереження до $B(N_L \cdot N_0)$, профілів електронної концентрації N , нестационарностей

$$\left(\frac{\partial N_0}{\partial t}, \eta_0 = N_0^{-1} \frac{\partial N_0}{\partial t}, \frac{\partial N}{\partial t}, \eta = N^{-1} \frac{\partial N}{\partial t} \right)$$

і профілів горизонтальних градієнтів $\left(\frac{\partial N_0}{\partial l}, \gamma_0 = N_0^{-1} \frac{\partial N_0}{\partial l}, \frac{\partial N}{\partial l}, \gamma = N^{-1} \frac{\partial N}{\partial l}, \gamma_0, \gamma_{0\theta} \right)$ (рис. 1,2) з використанням відомих методик [1—5] проводилася в такому порядку.

1. Безпосередньо із залежності від t кута $\Phi_\phi(t)$, одержаної з того чи іншого пункту, за методикою [3, 4, 5] встановлювалися залежності електронного змісту в похилому стовпі $N_L(z_B, x, y, t)$, де індекс В відноситься до В, x і y — горизонтальні координати, z — вертикальна координата.

2. Здобуті залежності N_L перерахувалися в деякі еквівалентні профілі $N_0(z_B, x, y, t)$ множенням N_L на $\sin \beta$, що визначається за [3, 4, 5].

3. З $N_0(z_B, x, y, t)$ для двох пунктів (пункти 6 і 7 на рис. 1 в [1]) встановлювалися горизонтальні градієнти за методикою [3, 5] $\frac{\partial N_0}{\partial l}$ і γ_0 з урахуванням їх залежності тільки від z ; тут горизонтальний напрямок l лежить у вертикальній площині, що проходить через пункти спостереження і В. Азимути цих площин дещо змінюються в дослідженні через неточну перпендикулярність траекторії В і вплив обертання Землі.

4. Одержані профілі горизонтальних градієнтів $\gamma_0(z)$ перерахували у вертикальні профілі довготних градієнтів $\gamma_{0\theta}$ (рис. 1), вважаючи, що в умовах дослідження останні приблизно збігаються з повними горизонтальними градієнтами (шляхом множення $\gamma_0(z)$ на $\cos \delta$, де δ — кут між вертикальними площинами, що проходять через відповідну паралель та пункт спостереження і В).

5. З одержаних градієнтів „еквівалентні“ профілі $N_0(z_B, x, y, t)$ перерахувалися за методикою [1] в $N_0(z_B, x_{B0}, y_{B0}, t)$ (у площині траекторії В).

6. Для виключення залежності $N_0(z_B, x_{B0}, y_{B0}, t)$ від t з використанням методики [1] визначалися середні за період

польоту В вертикальні профілі нестационарності $\frac{\partial N_0}{\partial t}$ і η_0 (рис. 1)

за різницею значень $N_0(z_B, x_{B0}, y_{B0}, t)$ при підніманні й спуску В на кожній висоті. Звичайно, одержані профілі нестационарності $\left(\frac{\partial N_0}{\partial t}, \frac{\partial N}{\partial t}\right)$ мають і самостійне значення, наприклад, при дослідженні балансу іонізації і для знаходження відповідних пара-

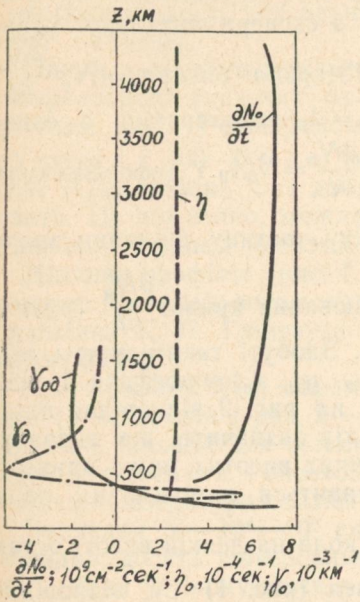


Рис. 1. Вертикальні профілі нестационарностей $\frac{\partial N_0}{\partial t}$ і $\eta_0 = N_0^{-1} \frac{\partial N_0}{\partial t}$ і довготривалих горизонтальних градієнтів $j_{0d} = N_0^{-1} \frac{\partial N_0}{\partial l}$, $j_0 = N^{-1} \frac{\partial N}{\partial l}$.

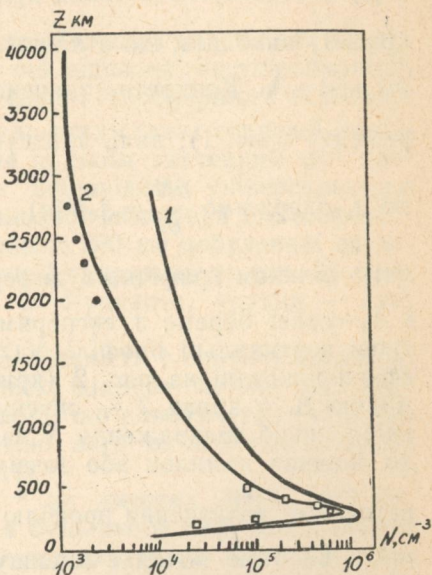


Рис. 2. Вертикальні профілі $N(z_B t_0)$, одержані в досліді (1 — в момент перетину випромінювачем висоти максимума $Z_M F_2$ при підйомі, 2 — при спуску), ● — дані Алуэт-2 (9), □ — вимірювання К. Й. Грінгауза.

метрів мікропроцесів. Профілі $\frac{\partial N}{\partial t}$ і η здобуваємо шляхом диференціювання за z профілей $\frac{\partial N_0}{\partial t}$.

7. За профілями нестационарності та еквівалентними профілями $N_0(z_B, x_{B0}, y_{B0}, t)$ методом [1] встановлювалися «істинні» вертикальні профілі $N_0(z_B, x_{B0}, y_{B0}, t_0)$, віднесені до тих чи ін-

ших миттєвих вертикальних площин перетину, коли В відповідно перетинав висоту максимуму іонізації при підніманні й спуску і коли він досягав максимальної висоти піднімання.

8. I, нарешті, «істинні» вертикальні профілі електронної концентрації $N(z_B, x_{B_0}, y_{B_0}, t)$ визначалися різними способами: шляхом диференціювання за z_B одержаних істинних вертикальних профілів $N_0(z_B, x_{B_0}, y_{B_0}, t_0)$ і шляхом [2] вирішення відомого інтегрального рівняння, що зв'язує F_ϕ з N_B . На достатньо великих висотах ($> 2000 \text{ км}$) для визначення ділянок профілів $N(z)$ застосовувався такий прийом: з експериментальної кривої

(рис. 1) виходить, що в широкому інтервалі висот $\eta_0 = N_0 - \frac{\partial N_0}{\partial t} \approx \text{const} = A_0$. Конкретне значення $\eta_0 = A_0$ визначається з експерименту (рис. 1), далі, записуючи $\frac{\partial N_0}{\partial t} = N_0 A_0$ і диференціюючи

по z , одержимо $\frac{\partial N}{\partial t} = A_0 N(z)$, де ліву частину рівняння знахо-

димо шляхом графічного диференціювання кривої $\frac{\partial N_0}{\partial t}$ (рис. 1)

і $A_0 = \text{const}$ беремо з експерименту. Здобуті таким чином миттєві вертикальні профілі $N(z_B, x_{B_0}, y_{B_0}, t_0)$ іоносфери і екзосфери показані на рис. 2 (крива 1 на рис. 2 відповідає підніманню В, а крива 2 — спуску). Слід зазначити, що вказаний вище спосіб знаходження N на великих висотах може привести до значних помилок або зовсім виявиться неможливим через

неточність визначення профілю $\frac{\partial N_0}{\partial t}$ коли на деякій висоті останній з висотою починає зменшуватися (рис. 1) (N , відповідно, буде тут від'ємним, що втрачає сенс). Для проведення більш

точного розрахунку $\frac{\partial N_0}{\partial t}, \frac{\partial N}{\partial t}$, а відповідно і $N(z)$, на великих висотах вносилася поправка на вплив горизонтальних градієнтів через незбіжність траекторії В при підніманні й спуску. Можна,

звичайно, ще спробувати врахувати нелінійність залежності $\frac{\partial N_0}{\partial t}$ від t за час дослідження [1], залежність градієнтів γ_0 і γ а також нестационарності η_0 і η від t і горизонтальних координатів і т. п., вдаючись, наприклад, до методу ітерацій і використовуючи дані інших вимірювань (див., напр., [1, 3, 5]).

Цікава у вертикальному профілі градієнта γ_{0d} (рис. 1) зміна знаку на деякій висоті. Це зв'язано з особливостями динаміки і балансу іонізації в іоносфері та екзосфері при заході Сонця (піднімання всієї товщини іоносфери, запізнення з висотою зниження іонізації, короткочасне зростання N через зниження

температури, а також явища переносу), які найбільш повно досліджуються за висотно-часовими залежностями по всій товщині іоносфери, одержаними методом некогерентного розсіювання (НР) [6]. Але на початку дослідження, коли вся іоносфера була ще освітлена Сонцем і горизонтальний графіент значною мірою визначався зенітним кутом Сонця, вертикальний профіль міг і не змінювати знаку [1], а вказані вище фактори переважали далі.

Розглянуті вертикальні профілі горизонтальних градієнтів і нестационарності для великих висот, вперше описані в даній роботі і в [1—5].

Одним з цікавих результатів дослідження одержання досить універсального висновку про те, що відносна нестационарність $\eta_0 \approx \text{const}$ (рис. 1) в широкому інтервалі іоносферних і екзосферних висот ($\leq 400—500 \text{ км}$) при будь-яких станах сонячної активності (СА), сезоні, часі доби, але із своїм значенням цієї константи. Це пов'язано, можливо, з відповідною універсальністю динаміки і балансу іонізації зовнішньої іоносфери і екзосфери.

Ділянки профілів (рис. 1, 2) нижче 200 км побудовані за допомогою вертикального зондування. Квадратики на рис. 2 — вимірювання К. І. Грінгауза і В. О. Рудакова, крапки — дані «Алуэт-2» [9].

Для профілів $N(z)$ характерна наявність у верхній іоносфері двох (а на кривій 1 рис. 2 — і трьох) ділянок майже постійної крутизни, більшої для більших висот, що пояснюється головним чином зменшенням з висотою атомної ваги іонів, а також підвищеним температурою плазми [10, 11].

Значення $N \sim 10^4—10^5 \text{ ел. см}^{-3}$ на висотах $3000—4000 \text{ км}$, очевидно, досить універсальні для будь-якого часу доби, сезону і СА. Вони узгоджуються з першими для таких висот систематичними вимірюваннями N вздовж шляху В методом диференціюального ЕД [12, 4, 7] при низькій СА для будь-якого часу доби і сезону, а також з результатами зондування іоносфери зверху [9], НР [13] та ін. при високій СА.

Спосіб рознесення у вимірюваннях вертикальних профілів N виявився досить ефективним навіть при несприятливих умовах дослідження (захід Сонця). Вертикальні профілі N в одному і тому самому ж перерізі, знайдені за ефектами Фарадея і Доплера з декількох пунктів з урахуванням горизонтальних градієнтів і нестационарності, добре узгоджуються між собою [2]. Отже, метод рознесення в іоносферних вимірюваннях по ЕФ і ЕД сигналів В з вертикальною або майже вертикальною траекторією дозволяє, крім вимірювання вертикальних профілів N , а з достатньою точністю ще знаходити (на відміну від спостереження тільки в одній точці) профілі N_L горизонтальних градієнтів і нестационарностей N і N_0 , а також ряд іоносферних ефектів при розповсюджені радіохвиль [1, 2]. Природно, що наявність серед

пунктів спостереження пункту в місці старту, а також вертикального зондування в ряді тих чи інших пунктів є цілком базованою.

В одержанні даних для проведення розрахунків роботи брали участь Г. К. Солодовников, В. М. Мітунов і Є. Б. Крохмальников.

ЛІТЕРАТУРА

1. В. А. Мисюра. «Геомагнетизм и аэрономия», 1969, 9, 3, 453.
2. Сб. «IX Всесоюзная конференция по распространению радиоволн». Авторефераты докладов. Харьков, АН ССР и АН УССР, 1969, ч. II, 51, 84.
3. В. А. Мисюра, Д. Д. Осипов, Е. Б. Крохмальников, Г. К. Солодовников. «Космические исследования», 1965, 3, 4, 604.
4. В. А. Мисюра, Е. Б. Крохмальников, Г. К. Солодовников, В. М. Мигунов. В сб. «Исследования космического пространства», 1965, М., «Наука», 138.
5. В. А. Мисюра, Е. Б. Крохмальников, Г. Н. Зинченко, А. С. Фирсаков, С. М. Слуцкер. «Геомагнетизм и аэрономия», 1970, 10, 2, 244.
6. В. А. Мисюра и др. Ионосфера средних широт по данным исследования методом некогерентного рассеяния. Доклад на XIII сессии КОСПАР. Л., 1970.
7. В. А. Мисюра. В сб. «Ионосферные исследования», № 18. «Наука», 1969, 120.
8. В. А. Мисюра, Г. Н. Ткаченко, Ю. Г. Ерохин, В. И. Новожилов, В. Я. Блудов, Н. И. Нисневич, Н. В. Мошняков. «Космические исследования», 1968, 6, 5, 726.
9. T. Onodoh, N. Natuiga, T. Koseki, K. Nishisaki, M. Kajikawa. Journal of the Radio Research Laboratories, Japan, 1968, 15, 78, 59—68.
10. Дж. В. Эванс. УФН, 1967, 92, 2, 229.
11. М. А. Кутимская, В. М. Поляков. В сб. «Исследование ионосферы», Новосибирск, 1970, 64.
12. Я. Л. Альперт, В. М. Синельников. «Геомагнетизм и аэрономия», 1969, 9, 3, 407.
13. Распределение электронов в верхней атмосфере, М., «Мир», 1969, 396.

ДО ТЕОРІЇ ВІДКРИТОГО РЕЗОНАТОРА, ЗАПОВНЕНОГО РУХОМОЮ ПЛАЗМОЮ

С. С. Калмикова, В. А. Слюсарський, В. Д. Бахтін

У роботі, виходячи з методу Л. А. Вайнштейна [1], перш за все розглядається ключова задача про відбиття хвилі відкритим кінцем хвилеводу, через який рухається плазма. На основі одержаного рішення знаходиться спектр власних частот та ширина ліній відповідного резонатора.

Напівнескінчений відкритий хвилевод створений двома нескінченно тонкими ідеально провідними пластинами ($z < 0$, $x = \pm a$, $-\infty < y < \infty$). Однорідна плазма концентрації n_p рухається вздовж його осі з швидкістю v_0 так, що після виходу

з хвилеводу швидкість, концентрація і геометричні розміри плазми не змінюються.

Монохроматична E -хвиля, що характеризується частотою ω і поздовжнім хвильовим числом γ_m набігає з $z = -\infty$ на відкритий кінець хвилеводу ($z=0$) і розсіюється на ньому. Треба знайти розсіяне поле, зокрема, встановити коефіцієнти трансформації падаючої хвилі в інші типи хвиль, які їй визначають спектр відповідного відкритого резонатора.

При цьому будемо розглядати окрім випадки сильного і слабкого магнітного поля H_0 , паралельного потоку плазми.

Падаюча хвиля при дифракції на краях пластин збуджує поля, амплітуди яких зменшуються із зростанням відстані по обидва боки від розриву. Тому розсіяні поля можна представити у вигляді суперпозиції плоских хвиль. Для симетричної хвилі, наприклад, $|x| < a$:

$$H_y^I = \frac{\cos g_m x}{\cos g_m a} + \int_{-\infty}^{\infty} H_1(t) \frac{\cos [k_{\perp}(t)x]}{\cos [k_{\perp}(t)a]} e^{itz} dt; \quad (1)$$

$$k_{\perp}^2(t) = k^2 - t^2 - \frac{\omega_{p\perp}^2 \omega^*}{c^2(\omega^* + i\nu)} \quad \text{при } H_0 \rightarrow 0; \quad (2)$$

$$k_{\perp}^2(t) = (k^2 - t^2) \varepsilon_{\parallel}^{\infty}(t) \quad \text{при } H_0 \rightarrow \infty; \quad (3)$$

$$H_y^{II} = \int_{-\infty}^{\infty} H_2(t) \exp \{itz + iv(t)|x-a|\} dt, \quad |x| > a; \quad (4)$$

$$v^2(t) \equiv k^2 - t^2; \quad g_m \equiv k_{\perp}(\gamma_m).$$

Тут прийнято такі позначення:

$$\varepsilon_{\parallel I}^{\infty}(t) = 1 - \frac{\omega_{pII}^2}{\omega^*(\omega^* + i\nu)}; \quad \omega_{pII}^2 = \omega_{pe}^2 (1 - \beta_0^2)^{3/2};$$

$$\omega^* = \omega - tv_0; \quad \omega_{p\perp}^2 = \omega_{pe}^2 (1 - \beta_0^2)^{1/2}; \quad \omega_{pe}^2 = \frac{4\pi n_e e^2}{m_0};$$

$$\beta_0 = \frac{v_0}{c}; \quad k = \frac{\omega}{c};$$

v — ефективна частота співударів у плазмі;

m_0 — маса електрона в системі, де вони знаходяться в спокої.

Перше складове в (1) являє собою падаючу хвиллю, друге — дифраговане поле. Враховуючи граничні умови і леми Вінера —

Пелі—Рапопорта [2, 3] для визначення $H_1(t)$ і $H_2(t)$, одержимо граничну задачу:

$$\Phi^+(t) = \frac{Z_1(t) - Z_0(t)}{Z_1 C_1} \cdot \Phi^-(t) + \frac{\left(1 + \frac{t}{k}\right)^{1/2}}{2\pi i (t - \gamma_m)}; \quad (5)$$

$$H_1(t) = \Phi^-(t) \left(1 - \frac{t}{k}\right)^{1/2} \frac{1}{C_1 Z_1}; \quad H_2(t) = \frac{Z_1(t)}{Z_0(t)} H_1(t);$$

$$C_1 = \lim_{t \rightarrow \infty} \frac{Z_1 - Z_0}{Z_1}; \quad Z_0 = -\frac{v(t)}{k};$$

$$Z_1 = -\frac{i k_\perp(t)}{k \epsilon_{11}(t)} \operatorname{tg} [k_\perp(t) a] — \text{для симетричних хвиль};$$

$$Z_1 = \frac{i k_\perp(t)}{k \epsilon_{11}(t)} \operatorname{ctg} [k_\perp(t) a] — \text{для асиметричних хвиль}.$$

Умові Майкснера поблизу ребер $x = \pm a$; $z = 0$ відповідають зникаючі на нескінченості рішення (5). Точне вирішення цієї задачі існує і єдине, коли індекс її дорівнює нулю. Останнє буде справедливим у випадку, коли відносний рух плазмових потоків і обумовлене ним посилення електромагнітного поля відсутні. Відповідний доказ цього наведений в роботі [4].

Підставляючи рішення (5) в інтеграл (1) і враховуючи його значення в області $z < 0$, знайдемо коефіцієнти трансформації T_{mn} , падаючої хвилі з номером m у хвилю з номером n :

$$T_{mn} = \frac{i X^-(\gamma_n^-) \epsilon_{11}(\gamma_n^-) \left(1 - \frac{\gamma_n^-}{k}\right)^{1/2} \left(1 + \frac{\gamma_m^+}{k}\right)^{1/2}}{C_1 X^+(\gamma_m^+) \left(\frac{\gamma_m^+}{k} - \frac{\gamma_n^-}{k}\right) B(H_0)}, \quad (6)$$

$$\text{де } B(H_0 \rightarrow 0) = \gamma_n^- a - \frac{i v}{2 C} \omega_{p\perp}^2 \beta_0 a (\omega + iv - \gamma_n^- v_0)^{-2},$$

$$B(H_0 \rightarrow \infty) = \gamma_n^- a \epsilon_{11}^\infty(\gamma_n^-) + \omega_{p11}^2 v_0 [\omega^*(\gamma_n^-)]^{-2} [\omega^*(\gamma_n^-) + iv]^{-1} v^2(\gamma_n^-);$$

X — рішення однорідної задачі сполучення, відповідне (5), обмежене на нескінченості;

γ_n^\pm — корені дисперсійного рівняння

$$k_\perp(\gamma_n) a = n\pi, \quad (7)$$

абсолютні значення яких набагато менші k .

Припишемо коефіцієнту T_{mn} знак «+», якщо трансформація відбувається на тому кінці хвилеводу, де плазма з нього виходить, і знак «-» — на протилежному.

Перейдемо до відшукання спектра власних частот резонатора, створеного двома паралельними провідними пластинами довжиною $2l$, розташованими на відстані $2a$. Рівняння, що визначають цей спектр, можна одержати з таких міркувань. Позначимо індексами « \pm » хвильові числа γ_m^\pm і амплітуди A_m^\pm хвиль, що розповсюджуються вздовж і проти руху плазми. Тоді з визначення коефіцієнтів T_{mn}

$$A_n^- = \sum_{m,f} T_{mn}^+ T_{m,f}^- A_f^- e^{2il(\gamma_m^+ - \gamma_f^-)}. \quad (8)$$

Умова рівності нулю визначника цієї системи дає рівняння, що встановлює спектр власних частот резонатора.

Враховуючи, що коефіцієнти взаємної трансформації хвиль зменшуються із зростанням різниці номерів цих хвиль (для $s_j \gg 1$, як $s_0 s_j^{-2}$, $\gamma_j^2 = \frac{\omega}{2ac\sqrt{\epsilon_0}}$, де ϵ_0 — діелектрична проникність плазми, що перебуває в спокої), обмежимося тільки нульовими членами системи (8):

$$1 - T_{00}^+ T_{00}^- \exp\{2il(\gamma_0^+ - \gamma_0^-)\} = 0. \quad (9)$$

Підставляючи T_{00}^\pm з (6), можна переконатися в тому, що у випадку $H_0=0$, коли залежність поперечного хвильового числа від швидкості плазми знаходиться лише в малих поправках, пропорціональних частоті співударів, вплив плазми на положення і ширину резонансних ліній однозначно обумовлюється еквівалентною діелектричною проникністю плазми, що перебуває в спокої, тієї ж концентрації ϵ_0 . При цьому власні частоти коливань задовольняють співвідношенням $\frac{\omega a}{c}\sqrt{\epsilon_0} = \pi\left(\frac{q}{2} + P_D\right)$, де q — ціле число, суттєво більше одиниці, а P_D з відносною точністю порядку $\frac{\omega_{pe}^2 \gamma \beta_0 \omega^{-3}}{\sqrt{2ka}}$ збігається з виразом, знайденим в [1].

У випадку сильного магнітного поля

$$T_{00}^\pm = -\frac{\exp\left\{(i-1)\left(0,824 + \frac{\Omega_{pII}^2}{\pi\sqrt{2}}\right)\sqrt{4\pi P}\right\}}{1 + 3\Omega_{pII} \beta_0^2 \pm 3\Omega_{pII}^2 \beta_0 \cdot \sqrt{2\kappa a} \left(\Omega_{pII}^2 \beta_0^2 - i \frac{\gamma}{2\omega}\right)}. \quad (10)$$

Тут $4\pi P = \Omega_{pII}^4 \beta_0^2 \cdot 2ka\epsilon_0^{-\frac{3}{2}} + 4\pi P_D$;

$\Omega_{pII}^2 = \frac{\omega_{pII}^2}{\omega^2}$; P_D — невідома величина.

Підставляючи (10) в (9) і враховуючи той факт, що

$$s_0^\pm = -\Omega_{pII}^2 \beta_0 V 2\kappa a \cdot \varepsilon_0^{-\frac{3}{4}} \pm V \sqrt{4\pi P}, \quad (11)$$

дістанемо для зсуву власної частоти резонатора ($\operatorname{Re} P_D$) і відповідної ширини лінії ($\operatorname{Im} P_D$) такі рівняння:

$$4\pi \operatorname{Re} P_D + \Omega_{pII}^4 \beta_0^2 2\kappa a = \frac{\pi^2 m^2}{M^2}, \quad (12)$$

$$4\pi \operatorname{Im} P_D = -\frac{2\pi m}{M^3} (0,824 \pi_m + 3\Omega_{pII}^2 \beta_0^2 M), \quad (13)$$

$$M = \sqrt{\frac{2kl^2}{a\varepsilon_0^{1/2}}}; \quad m = 1, 2 \dots$$

Оскільки при виведенні цих формул істотним є припущення про незначні дифракційні втрати і зсуви частоти ($4\pi P < 1$), то додаткове розширення лінії, обумовлене винесенням енергії хвилі плазмою, є малим в порівнянні з дифракційним. Таким чином, основним ефектом наявності плазми в резонаторі у випадку, який ми тут розглядаємо, є зсув резонансних частот, що, на відміну від слабкого магнітного поля, суттєво залежить від швидкості плазми.

ЛІТЕРАТУРА

1. Л. А. Вайнштейн. Открытые резонаторы и открытые волноводы. М., «Сов. радио», 1966.
2. Н. Винер, Р. Пэли. Преобразование Фурье в комплексной области. М., «Наука», 1964.
3. И. М. Рапорт. ДАН СССР, 59, 1403.
4. С. С. Калмыкова, В. И. Курилко. ПММ, 33, 1969, 638:

ДОСЛІДЖЕННЯ ЗАГАСАННЯ ЕЛЕКТРОМАГНІТНИХ ХВИЛЬ У ПЛАЗМОВИХ ЗГУСТКАХ

В. Д. Бахтін, Л. Г. Мартиненко, О. Г. Нерух, В. А. Слюсарський

При вивчені взаємодії електромагнітних хвиль з плазмою становить інтерес визначення впливу плазмових згустків, що генеруються джерелами різних типів, на розповсюдження поля. Такі дослідження мають значення для вирішення ряду технічних задач і можуть бути корисні при з'ясуванні механізму взаємодії електромагнітних хвиль з плазмою.

У даній роботі викладаються результати експериментального дослідження загасання електромагнітних хвиль субмілі-